## Evoluzione delle ricerche sulle frodi nel settore delle sostanze grasse, dei lipidi e degli alimenti in generale

Giovanni Lercker Alma Mater Studiorum – Università di Bologna

















Dipartimento di Scienze e Tecnologie Agro-Alimentari

## **ASPETTI MOLECOLARI**



Da Celi, Lercker, Schiraldi, I Fondamenti Molecolari della Qualità e della Sicurezza degli Alimenti, Milano 2004

## Principali argomenti scientifici

- OLI dalle OLIVE (Oli Extravergini di Oliva, Oli Vergini di Oliva, Oli di Oliva, Oli di Sansa e Oliva) 132
- OSSIDAZIONE DEI LIPIDI (meccanismo radicalico, meccanismo ossidante o riducente) 131
- ALTRI OLI e GRASSI (fonti oleaginose tradizionali, fonti oleaginose di particolari origini e localizzazioni) 85
- LATTE e DERIVATI (prodotti tradizionali di localizzazione geografica differenti, tutte con lo scopo di ottenere derivati conservabili) 42
- LIPIDI UMANI e CAVIE 36
- ANTIOSSIDANTI (chain breaking e riducenti) 20
- ROYAL JELLY ("pappa reale", gelatina reale) 18
- CAFFE' (due tipi di caffè: arabica e robusta) 12
- ALGHE, MICRORGANISMI (composizioni e utilizzazioni) 9

## UN PO' DI STORIA

CHIMICA DEGLI INDICI

 CHIMICA ANALITICA STRUMENTALE

# Evoluzione dei metodi analitici delle sostanze grasse fra il 1860 e il 1940

1860 - 1870

Titolo degli acidi grassi

1870 - 1890

Numero di Henner

Numero di acidità

Numero di saponificazione

Indice di Reichert-Meissl-Polenske

1890 - 1920

Numero di iodio

Numero di acetile

Numero di polibromuro

Numero di Kirchner

Indice di Bömer

Numero di idrossile

Numero di idrogeno

1920 - 1940

Indice di Bellier

Numeri A e B (indici di Bellier)

Numero di perossidi

Indice di dieni

Numero di tiocianogeno (solfocianogeno)

Numero di carbossile

Test di Kreis (rancidità)

Test di Fitelson (olio di tè)

Reazione di Halphen (olio di semi

di cotone)

Reazione di Villavecchia (olio di

semi di sesamo)

# Evoluzione dei metodi analitici delle sostanze grasse fra il 1940 e il 1999

1940 - 1950

Potenziometria

Spettroscopia (UV, Visbile, IR)

1950 - 1960

Cromatografia su colonna (LC)

Cromatografia su colonna a fasi invertite

Cromatografia con resine a scambio ionico

Cromatografia su strato sottile (TLC)

Metodi enzimatici

Gas cromatografia (GLC o GC)

Crom. liquida ad elevata prestazione (HPLC)

1960 - 1970

Assorbimento atomico Elettroforesi capillare

Riflessione IR

1970 - 1980

Assorbimento atomico

TLC su bacchetta di quarzo

Chemio-luminescenza

Spettrometria di massa (MS)

Risonanza magnetica nucleare (NMR)

1980 - 1990

Combinazione GC-MS

Metodi immunologici

Torcia al plasma

Combinazione plasma-spettrografia

di massa (ICP-MS)

1990 - 1999

Combinazione cromatografia liquida ad

elevata prestazione-spettrometria

di massa (LC-MS)

#### Altre tecniche analitiche strumentali

#### RISONANZA MAGNETICA NUCLEARE

Bassa risoluzione

**Pulsata** 

PIROLISI GAS CROMATOGRAFICA

CALORIMETRIA DIFFERENZIALE A SCANSIONE

REOLOGIA

# Principi base delle separazioni cromatografiche

- Interazione della molecola (struttura molecolare) con le altre molecole del campione da esaminare e con la "fase stazionaria" (maggior o minore e tempi di contatto) e con la fase mobile
- In gascromatografia la fase mobile è un gas (pochissima interazione)
- La scelta della fase stazionaria ("fase fissa")
   è prevalente sulle altre variabili

## I lipidi e le sostanze grasse

- I lipidi sono quelli che troviamo nei sistemi naturali: in tessuti e fluidi corporei, ricchi di sostanze grasse e altri componenti (lipocompatibili)
- Le sostanze grasse sono i costituenti lipidici prevalenti dei sistemi naturali, da essi ottenibili per separazione
- Gli oli e i grassi sono sostanze grasse direttamente consumabili (come tali)

# Costituenti delle sostanze grasse

- Triacilgliceroli (trigliceridi)
- Fosfolipidi
- Glicolipidi
- Componenti minori

## **COMPONENTI MINORI**

- Di-acilgliceroli (digliceridi, DG)
- Mono-acilgliceroli (monogliceridi, MG)
- Acidi grassi liberi (FFA)
- Acidi grassi trans (TFA)
- Acidi grassi ossigenati (OFA)
- Acidi grassi ciclici (CFA)
- Acidi grassi ramificati (BFA)
- Acidi grassi dimeri (DFA)
- Componenti dell'insaponificabile (UC)
- Prodotti di ossidazione del colesterolo (COPs)
- Fosfolipidi (PL)

## Insaturazione degli acidi grassi

#### PRESENZA DI UNO O PIÙ DOPPI LEGAMI

- INSTABILITÀ ALL'OSSIDAZIONE
- FLUIDITÀ DELLA SOSTANZA GRASSA
- PUNTO DI SOLIDIFICAZIONE
- ASPETTI NUTRIZIONALI

#### CONFIGURAZIONE DEI DOPPI LEGAMI

- INSTABILITÀ ALL'OSSIDAZIONE
- FLUIDITÀ DELLA SOSTANZA GRASSA
- PUNTO DI SOLIDIFICAZIONE
- ASPETTI NUTRIZIONALI

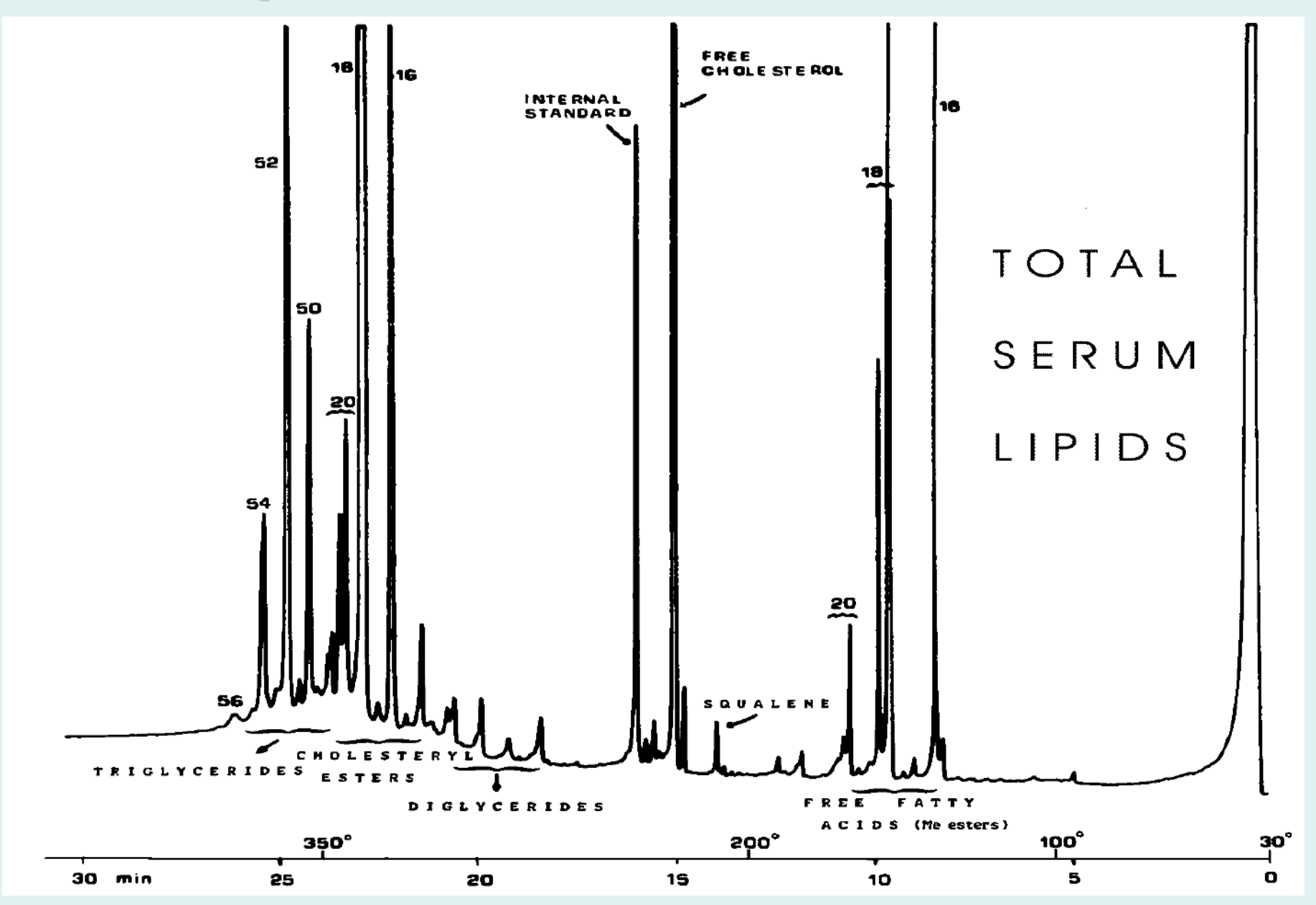
#### INTERAZIONI CON I SISTEMI CROMATOGRAFICI

- POLARI E NON POLARI
- TEMPI DI "RITENZIONE" (di analisi) SENSIBILI A Mwt E POLARITÁ

## Punti di fusione degli acidi grassi

Sigla	Nome triviale	Denominazione	Peso	Punto
	(sigla)	IUPAC	Molec.	di
	Acido	Acido		fusione
				°C
C16	Palmitico	Esadecanoico	256,4	63,1
C18	Stearico	Ottadecanoico	284,4	69,6
C18:1 cis	Oleico	9-cis-Ottadecenoico	282,4	16,2
<b>C18:1</b> <i>trans</i>	Elaidinico	9-trans-Ottadecenoico	282,4	43,7
C18:1 n-7	Asclepico	11-cis-Ottadecenoico	282,4	39
C18:2	Linoleico	9,12-cis,cis-Ottadecadienoico	280,4	- 5
C18:3 n-6	γ-Linolenico	6,9,12-cis-Ottadecatrienoico	278,4	-
C18:3 n-3	α-Linolenico	9,12,15-cis-Ottadecatrienoico	278,4	- 11
C18:4 n-3	Stearidonico	6,9,12,15-cis-Ottadecatetraenoico	276,4	- 57
C20	Arachico	Eicosanoico	312,5	75,3
C20:1 n-9	Gondoico	11-cis-Eicosenoico	310,5	-
C22	Beenico	Docosanoico	340,5	79,9
C22:1 n-9	Erucico	9-cis-Docosenoico	338,6	33,4
C20:4 n-6	Arachidonico (AA)	Eicosatetraenoico		- 50
C20:5 n-3	EPA	Eicosapentaenoico	302,5	- 54
C22:5 n-3	DPA	Docosapentaenoico	330,6	-
C22:6 n-3	DHA	4,7,10,13,16,19- <i>cis</i> -Docosaesaenoico	328,6	- 44

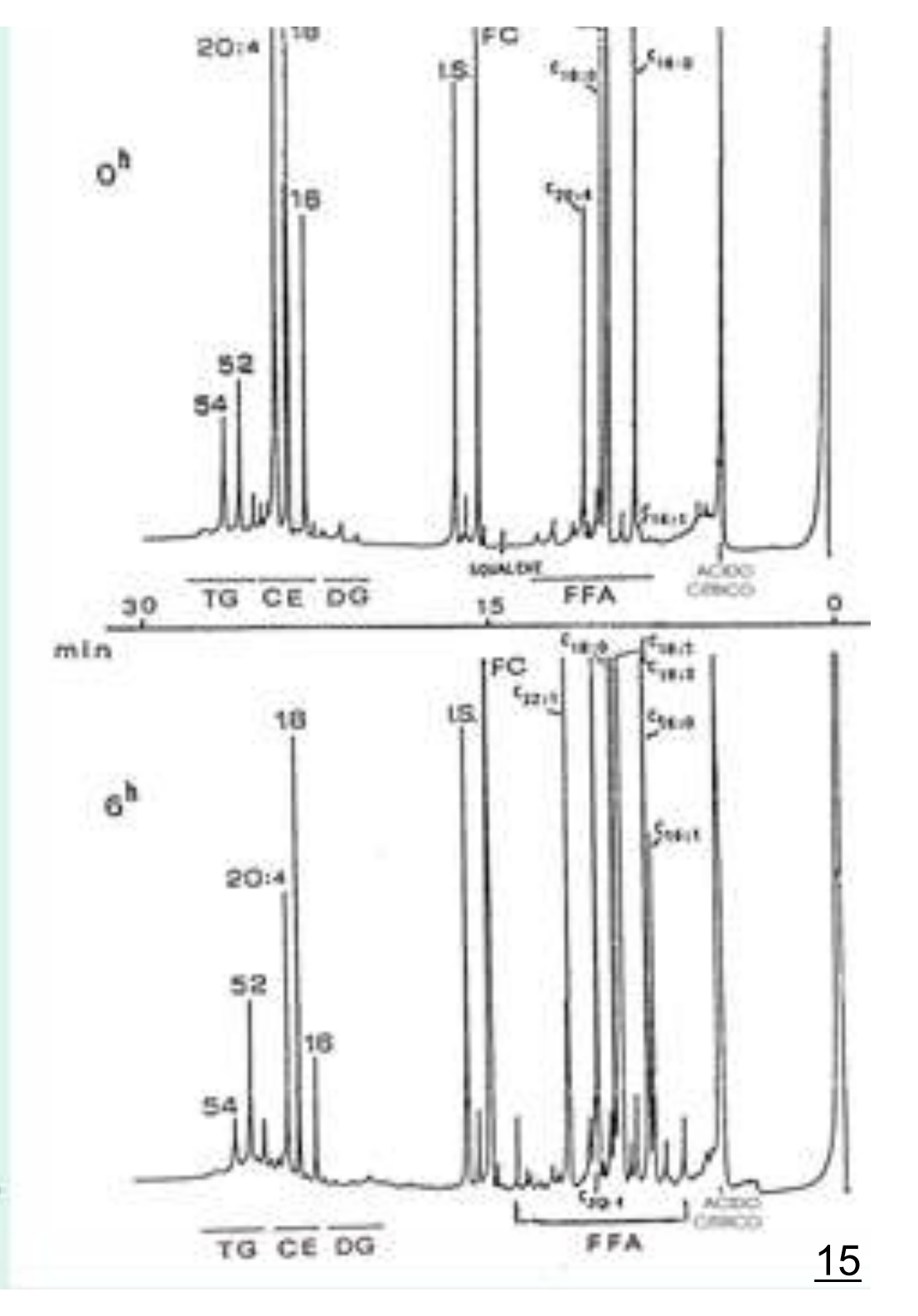
## Lipidi totali di siero umano



G. LERCKER, M. COCCHI, E. TURCHETTO, S. SAVIOLI, High Resolution Gas Chromatography (HRGC) of the lipids extracted from blood serum., HRC & CC, 7, 274-276 (1984).

# Lipidi sierici del digiuno del ratto

G. LERCKER, M. COCCHI, E. TURCHETTO, P. CAPELLA, C. ZULLO, M.F. CABONI. Determination of total lipid components by a high resolution gas chromatographic method. Application to the short-term fasting of rats., Riv. Soc. Ital. Sci. Alimentazione, 22, 147-152 (1993)



# Caratteristiche della possibilità analitica

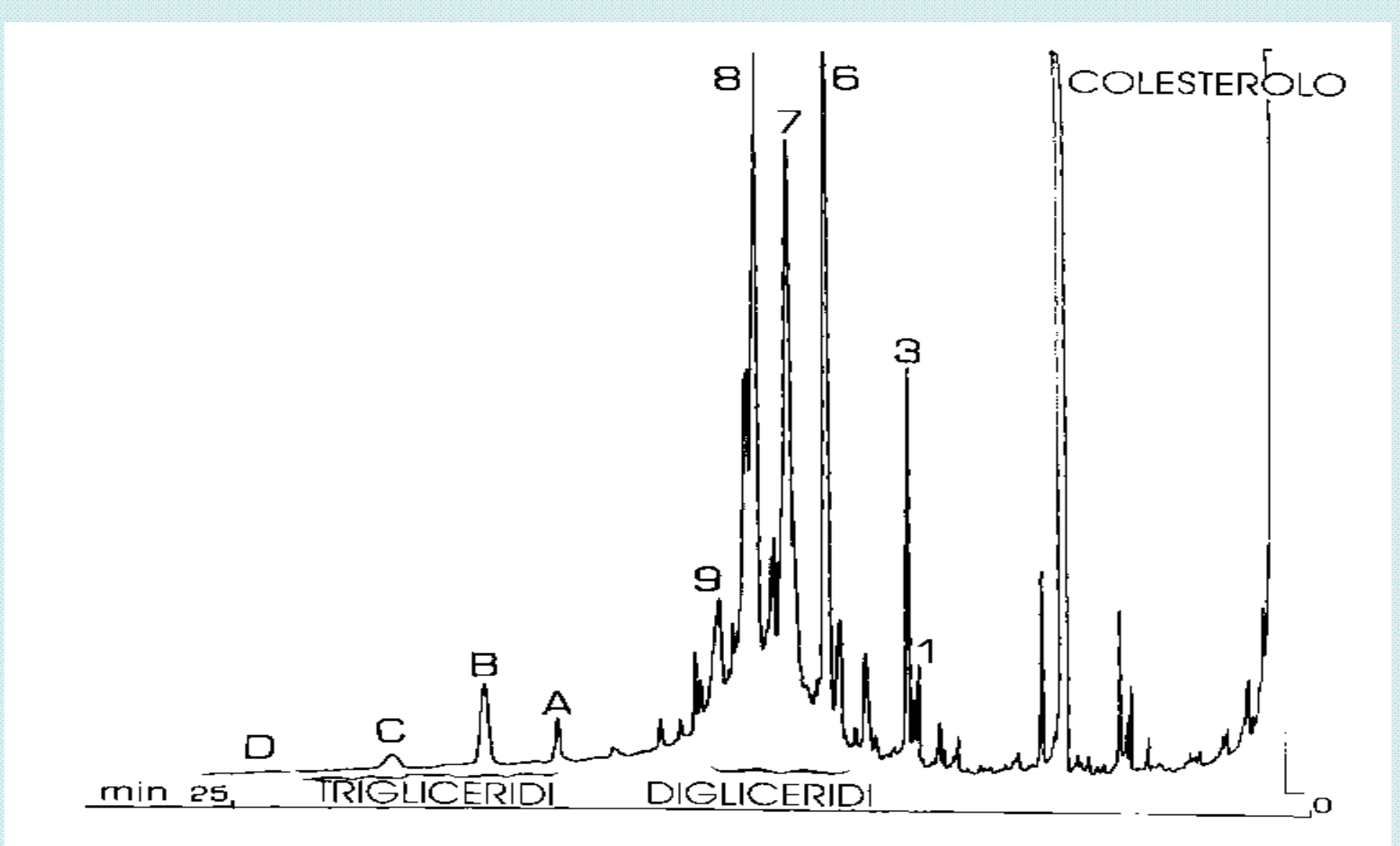
 Analisi dell'assetto lipidico, completa e con errori di misura dello stessa dimensione

Rilevazione di componenti in tracce

Applicazione al digiuno breve del ratto

### Lipidi totali di membrana di ratti obesi per iperfagia

(cellule di fegato)

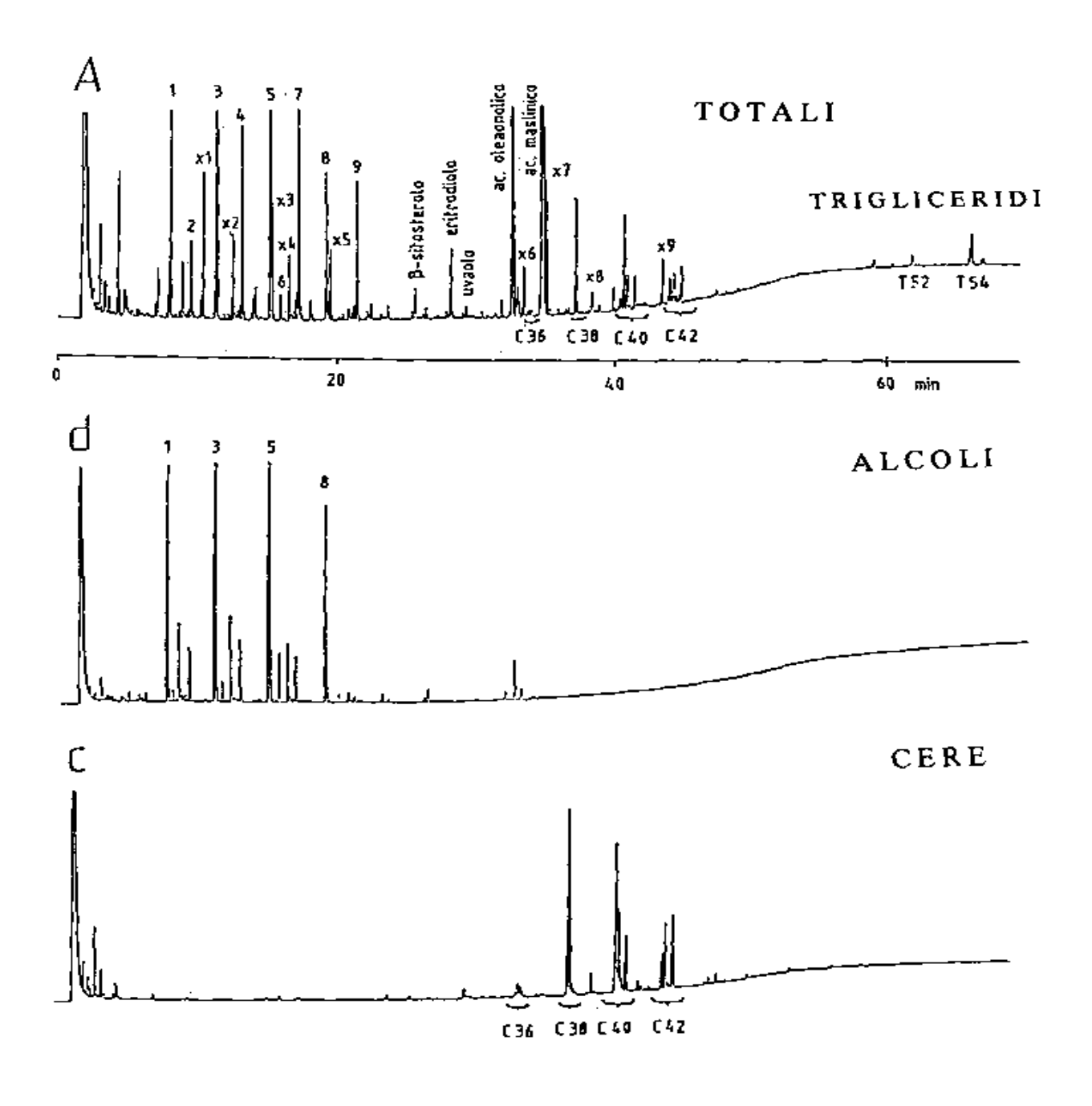


J.C. IZPISUA, T. BARBER, J. CABO, S. HRELIA, C.A. ROSSI, G. PARENTI CASTELLI, G. LERCKER, P.L. BIAGI, A. BORDONI, G. LENAZ, Lipid composition, fluidity and enzymatic activities of rat liver plasma and mitochondrial membranes in dietary obese rats., Int. J. of Obesity, 13, 531-542 (1989)

# Caratteristiche della possibilità analitica

 Rilevazione di trigliceridi in membrana di cellule e di mitocondri del fegato di ratto

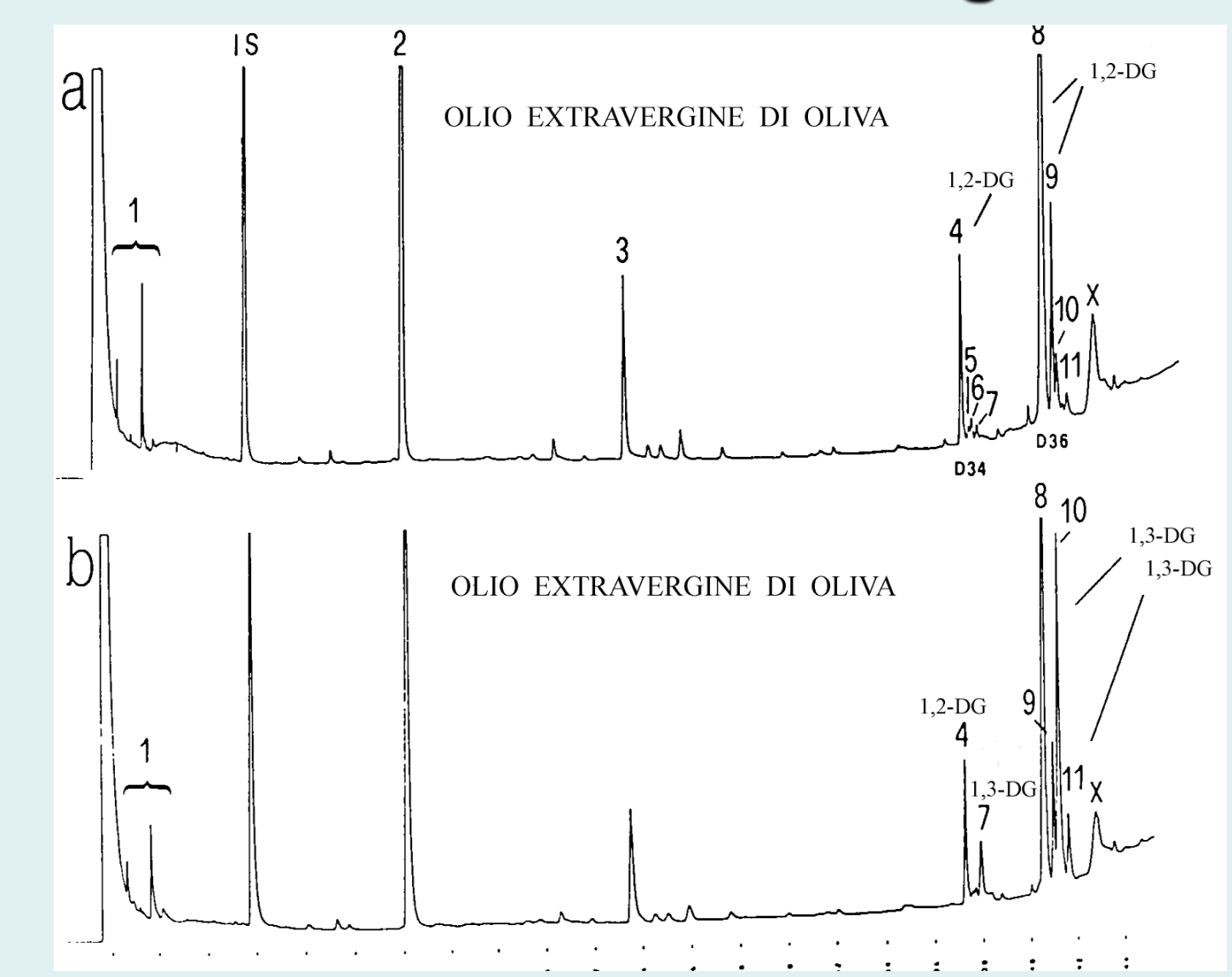
 Osservazione dell'incremento dei trigliceridi nelle membrane e nei mitocondri del fegato di ratti obesi (per iperfagia)



## I lipidi della superficie della drupa d'olivo

N. FREGA, G. LERCKER, La composizione dei lipidi della drupa di olivo durante la maturazione. Nota I: I lipidi e gli acidi totali., Agrochimica, 29., 300-309 (1985)

### Determinazione cGC dei diacilgliceroli



<u>0 mesi</u> <u>di conservazione</u>

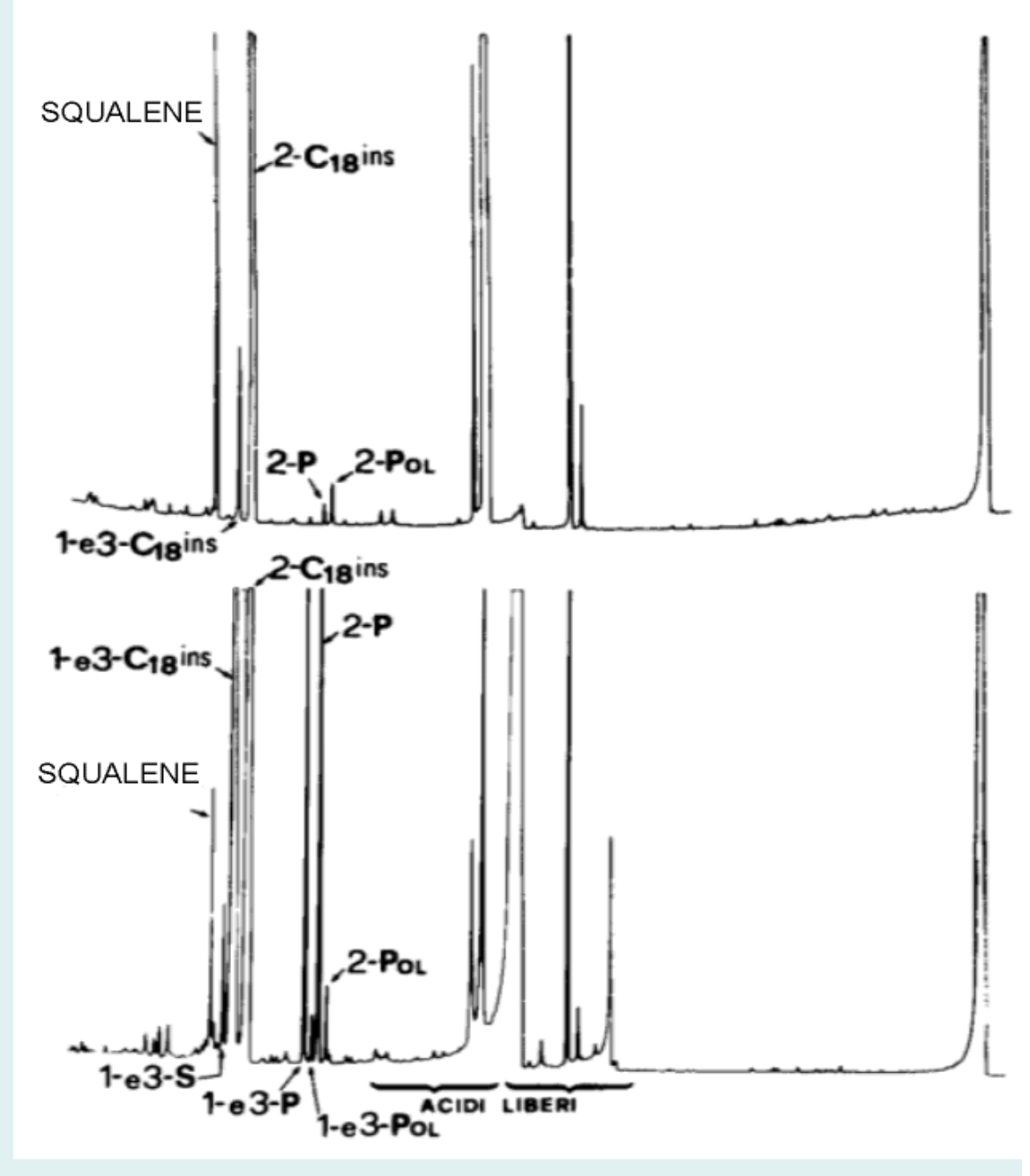
10 <u>mesi</u> di conservazione

N. FREGA, F. BOCCI, G. LERCKER, High-resolution gas-chromatographic determination of diacylglycerols in common vegetable oils., J. Am. Oil Chem. Soc., 70, 175-177 (1993)

#### OLIO EXTRAVERGINE D'OLIVA

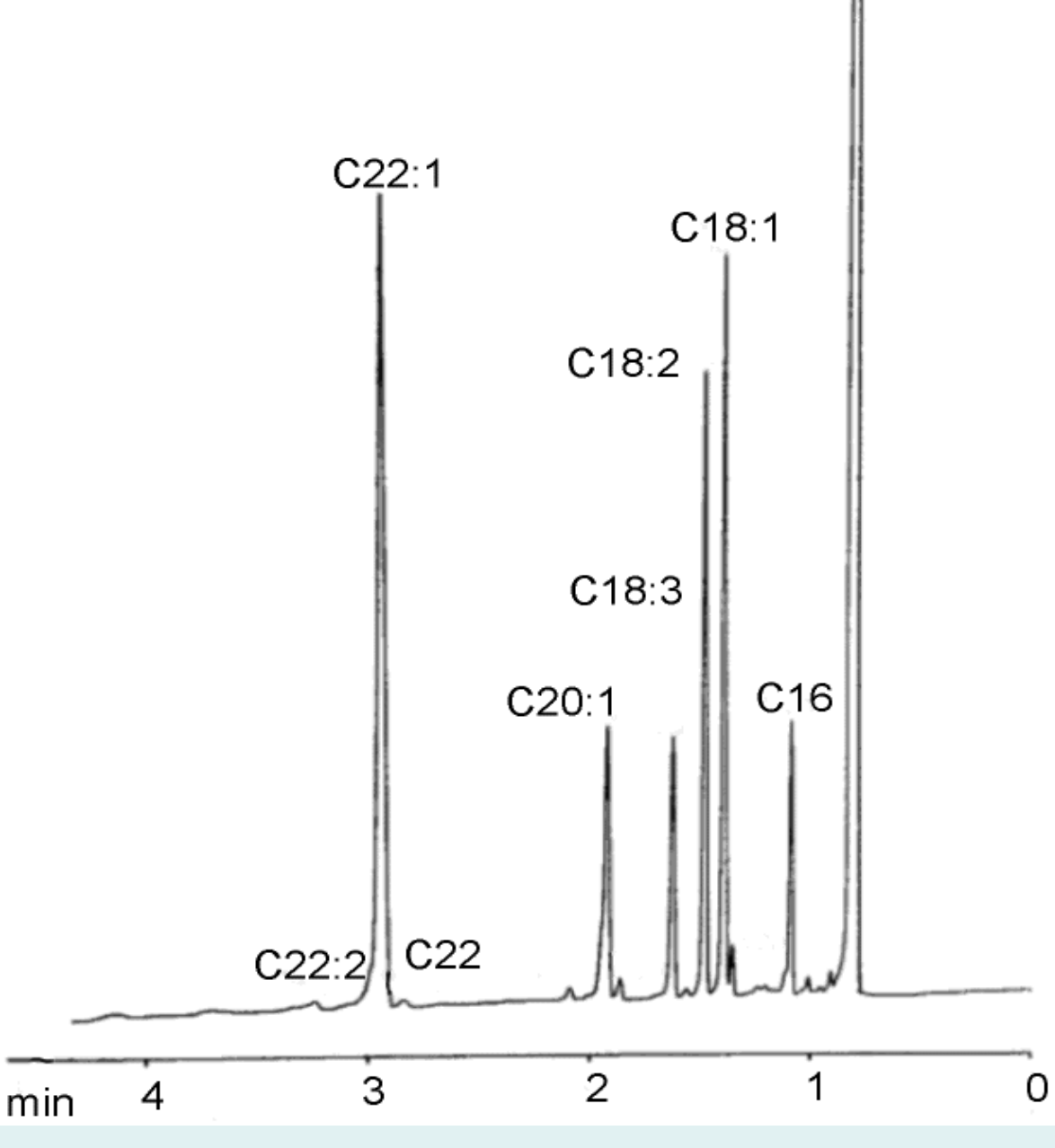
# Determinazione cGC dei monoacilgliceroli

G. LERCKER, M. MOSCHETTA, M.F. CABONI, N. FREGA, Determinazione degli oli esterificati negli oli provenienti dalla lavorazione delle olive., Riv. Ital. Sostanze Grasse, 62, 15-18 (1985)



OLIO ESTERIFICATO 100 %

## Analisi rapida degli esteri metilici (colonna di 15 m di Carbowax 20M)



L.S. CONTE, Q. LEONI, S. PALMIERI, P. CAPELLA, G. LERCKER, Half-seed analysis: rapid chromatographic determination of the main fatty acids of sunflower seed., Plant Breeding, 102, 158-165 (1989).

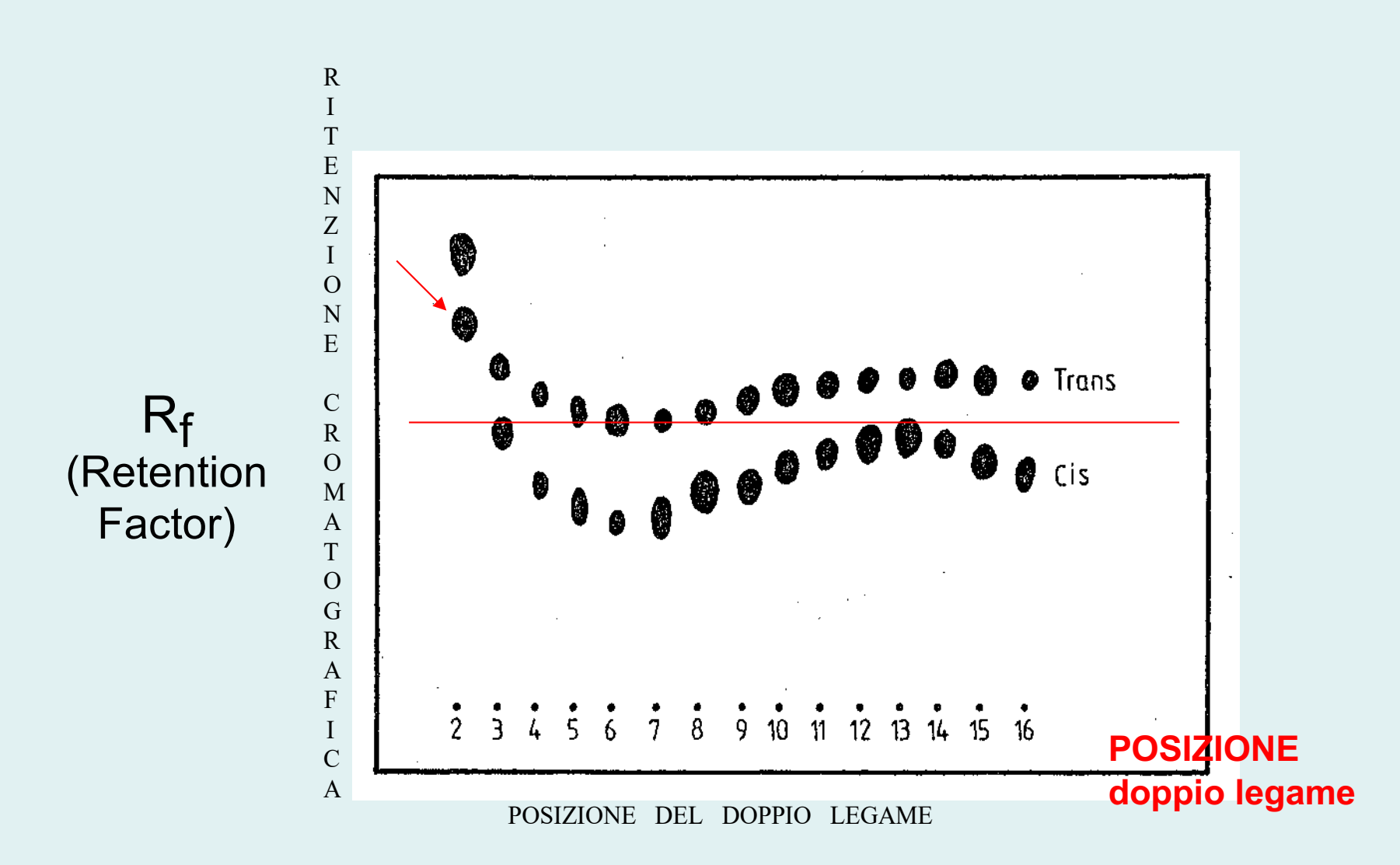
22

# Caratteristiche della possibilità analitica

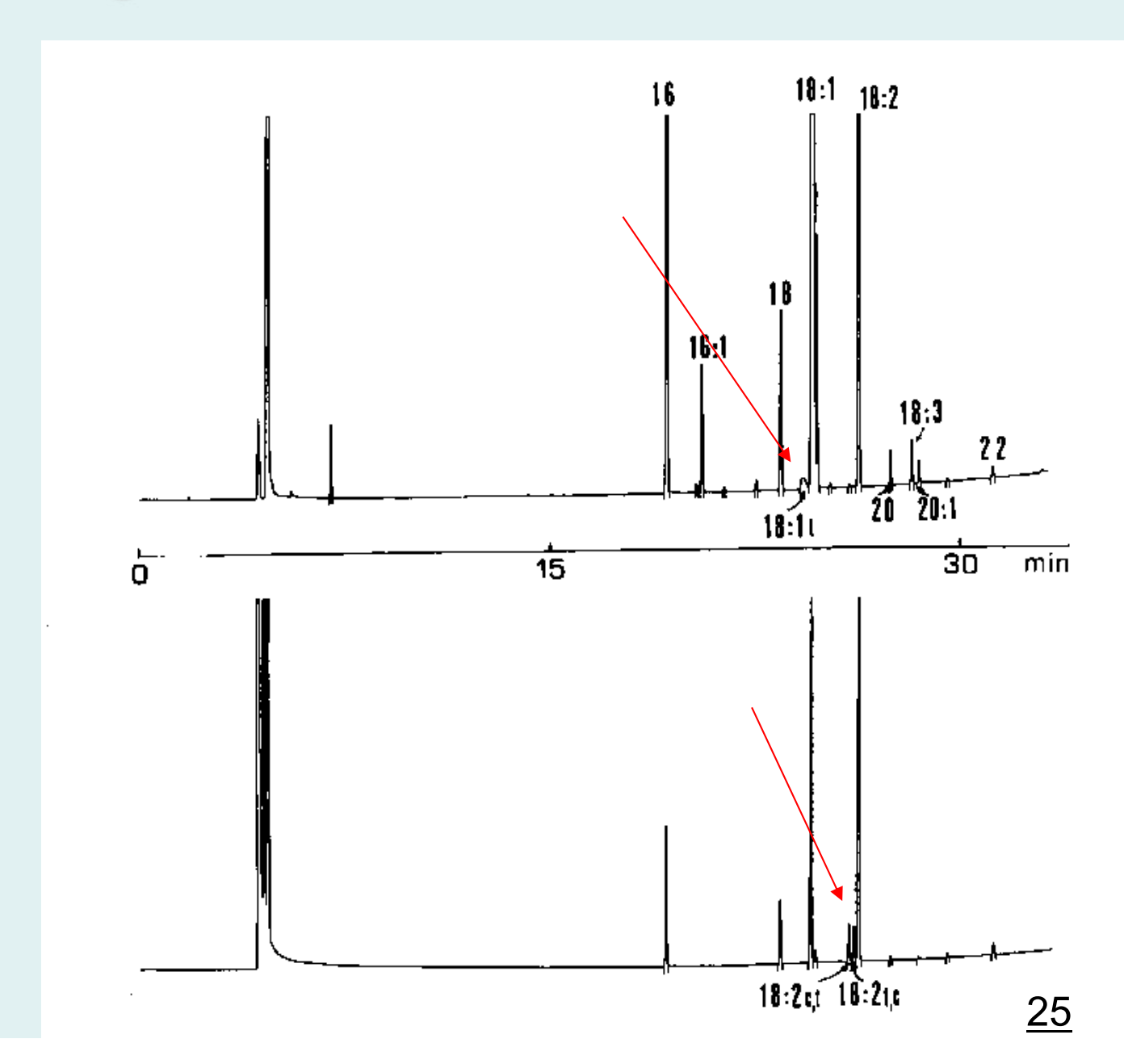
 Analisi rapida della composizione degli acidi grassi, previa metilazione e aggiunta dello standard interno (quantitativa)

 Impiego nella selezione genetica, soprattutto per il settore delle oleaginose

#### Comportamento in TLC degli isomeri di posizione cis e trans di acidi grassi monoinsaturi

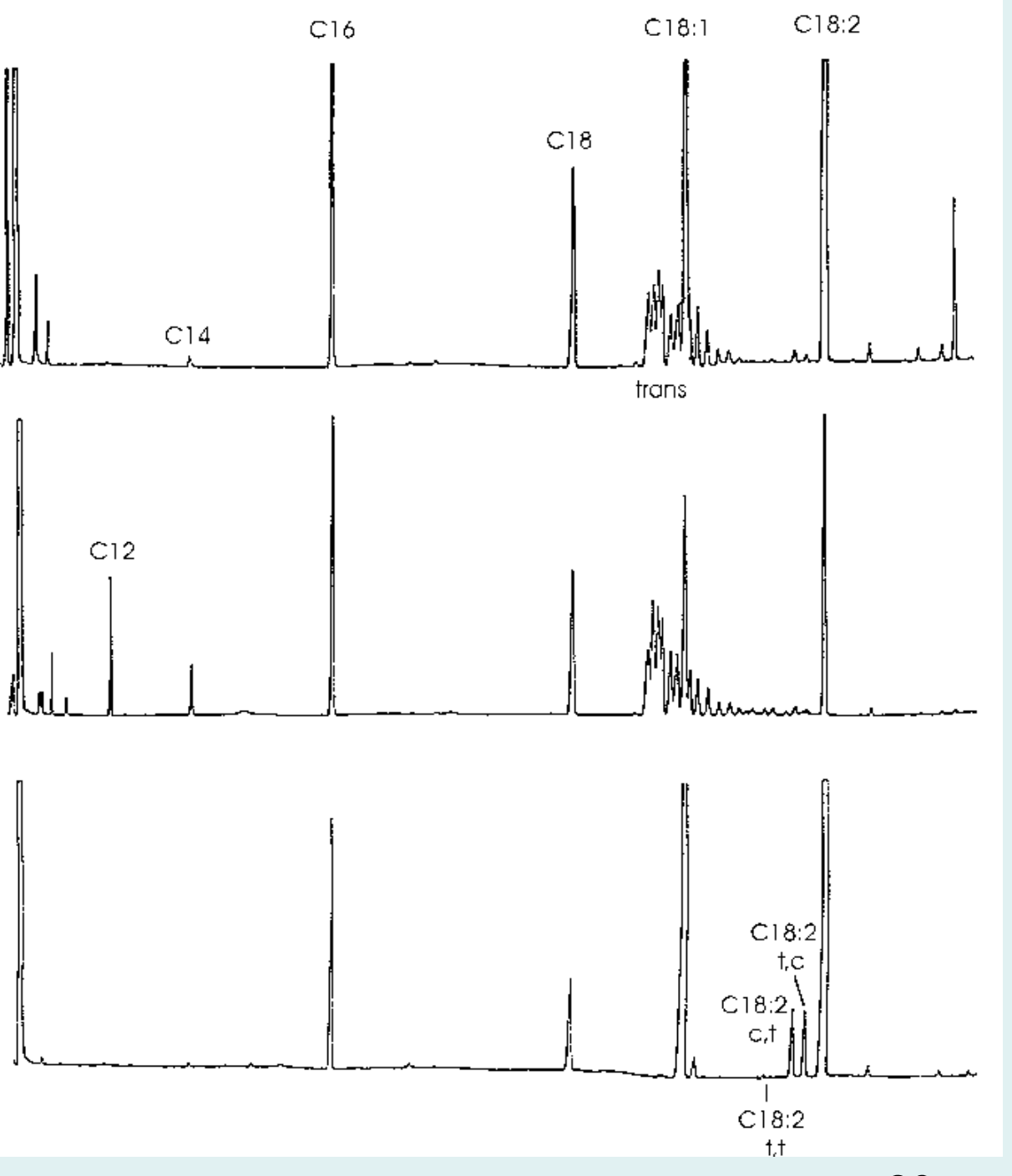


# Comportamento gas cromatografico di acidi grassi di oli raffinati

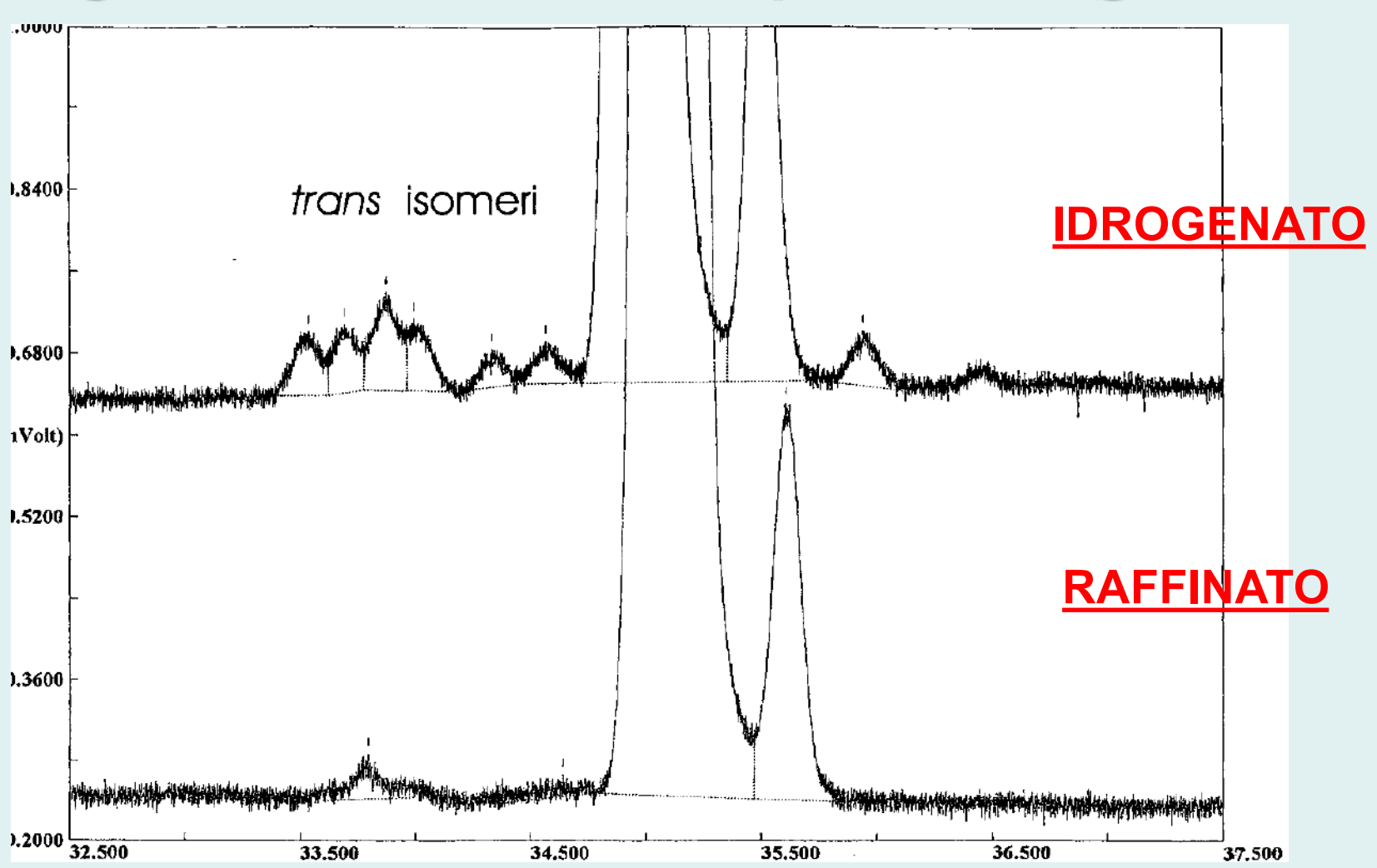


# Separazione gas cromatografica ad elevata efficienza

N.G. FREGA, risultati non pubblicati.



# Differenze strutturali fra *trans* isomeri nei grassi raffinati e in quelli idrogenati



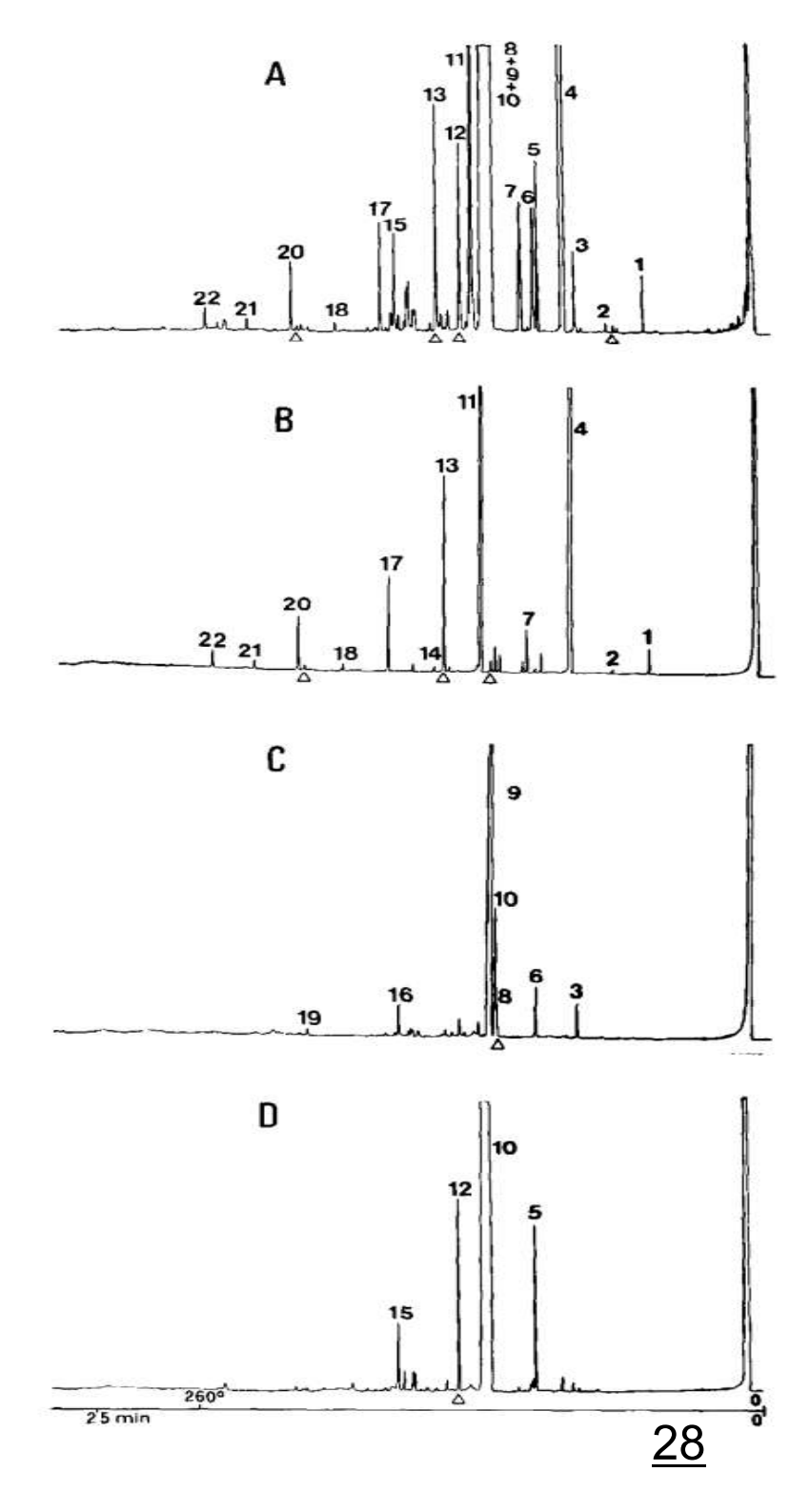
M.T. Rodriguez-Estrada et al., risultati non pubblicati.

#### Esteri metilici degli <u>acidi grassi</u> <u>dell'olio di Malva</u>

# Separazione TLC/AgNO<sub>3</sub> ed analisi CGC (OV1) (colonna da 25 m)

#### A totale, B saturi, C monoinsaturi e D diinsaturi

G. LERCKER, L.S. CONTE, P. CAPELLA, N. FREGA, La composizione dell'olio di malva (*Abutilon avicennae*, Gaertn.)., Riv. Ital. Sostanze Grasse, 60, 753-759 (1983).



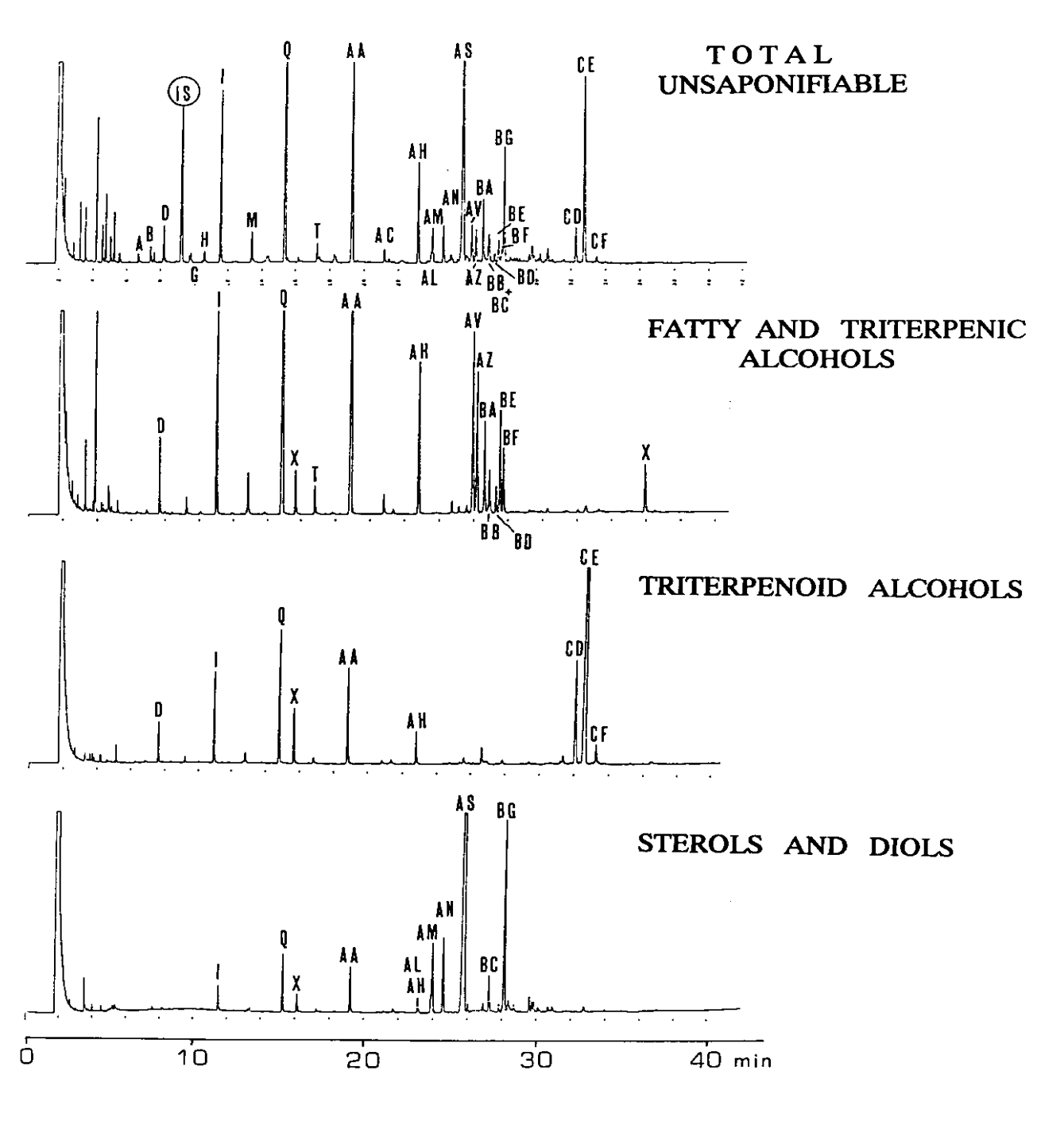
# Relazione fra composizione e funzionalità delle membrane biologiche (piastrine)

- La depressione: correlata a membrane molto fluide (ricche di acidi grassi polinsaturi)
- L'ischemia: correlata a membrane molto rigide (ricche di acidi grassi saturi)
- Il caso dei bambini

Cocchi M., Tonello L., Lercker G. (2009). Platelet Stearic Acid in different population groups: biochemical and functional hypothesis, Nutr. clin. diet. hosp., 29(1):34-45.

N. FREGA, F. BOCCI, G. LERCKER, Direct gas chromatographic analysis of the unsaponifiable fraction of different oils, by using a polar capillary column., J. Am. Oil Chem. Soc., 69, 447-450 (1992).

#### COMPOSIZIONE DELL'INSAPONIFICABILE



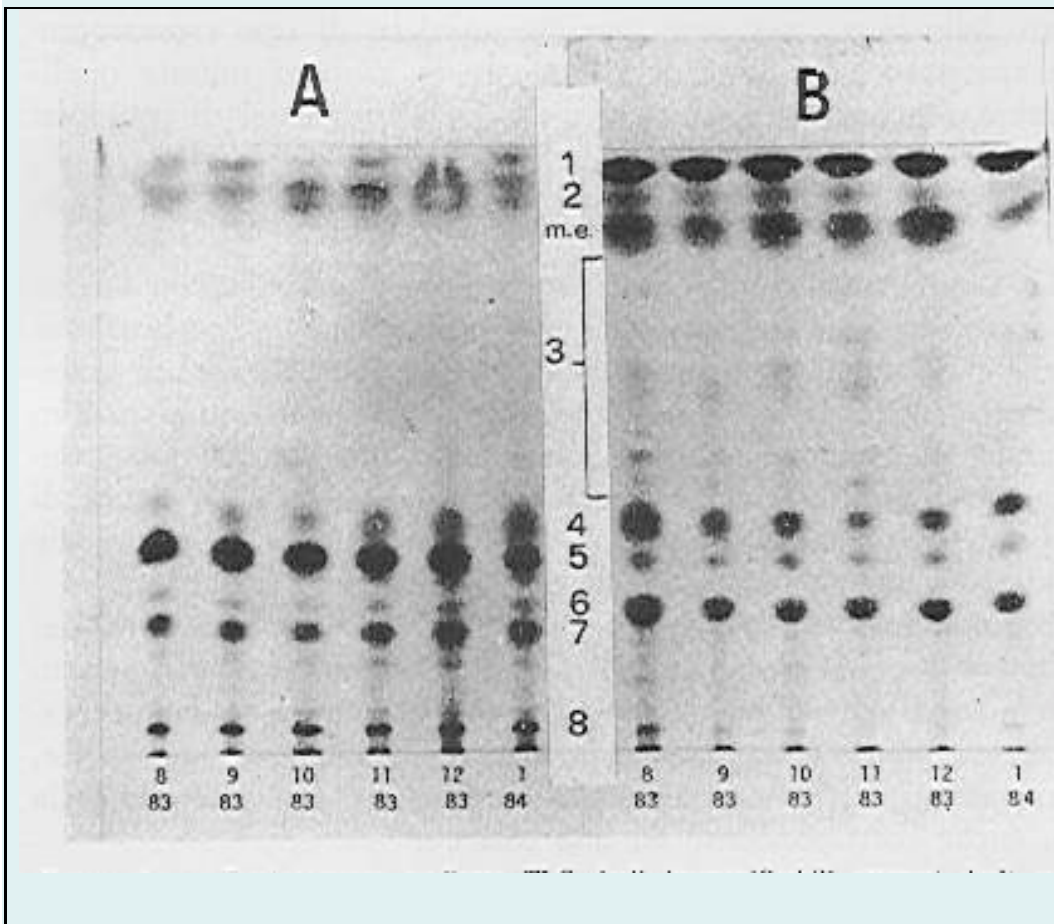
## Frazionamento dell'insaponificabile

**ESOCARPO** 

ENDOCARPO-MESOCARPO

Visualizzazione in TLC dei componenti degli insaponificabili dei lipidi di olive raccolte a stadi progressivi di maturazione

Cromatografia su strato sottile (TLC) del frazionamento (e confronto) degli insaponificabili relativi ai lipidi estratti dall'esocarpo (A) dall'endocapo-mesocarpo (B) delle drupe di olivo, in diversi stadi della maturazione (da agosto a gennaio). Le macchie individuate sono: 1) componenti idrocarburici; 2) caroteni; m.e.) banda di esteri metilici di acidi grassi (impurezza dell'insaponificabile); 3) tocoferoli e tocotrienoli; 4) alcoli lineari + alcoli triterpenici (4,4'-dimetilsteroli); 5) 4-metilsteroli; 6) steroli (desmetilsteroli); 7) dialcoli triterpenici e 8) dialcoli triterpenici carbossilati (esteri metilici) (impurezza dell'insaponificabile).



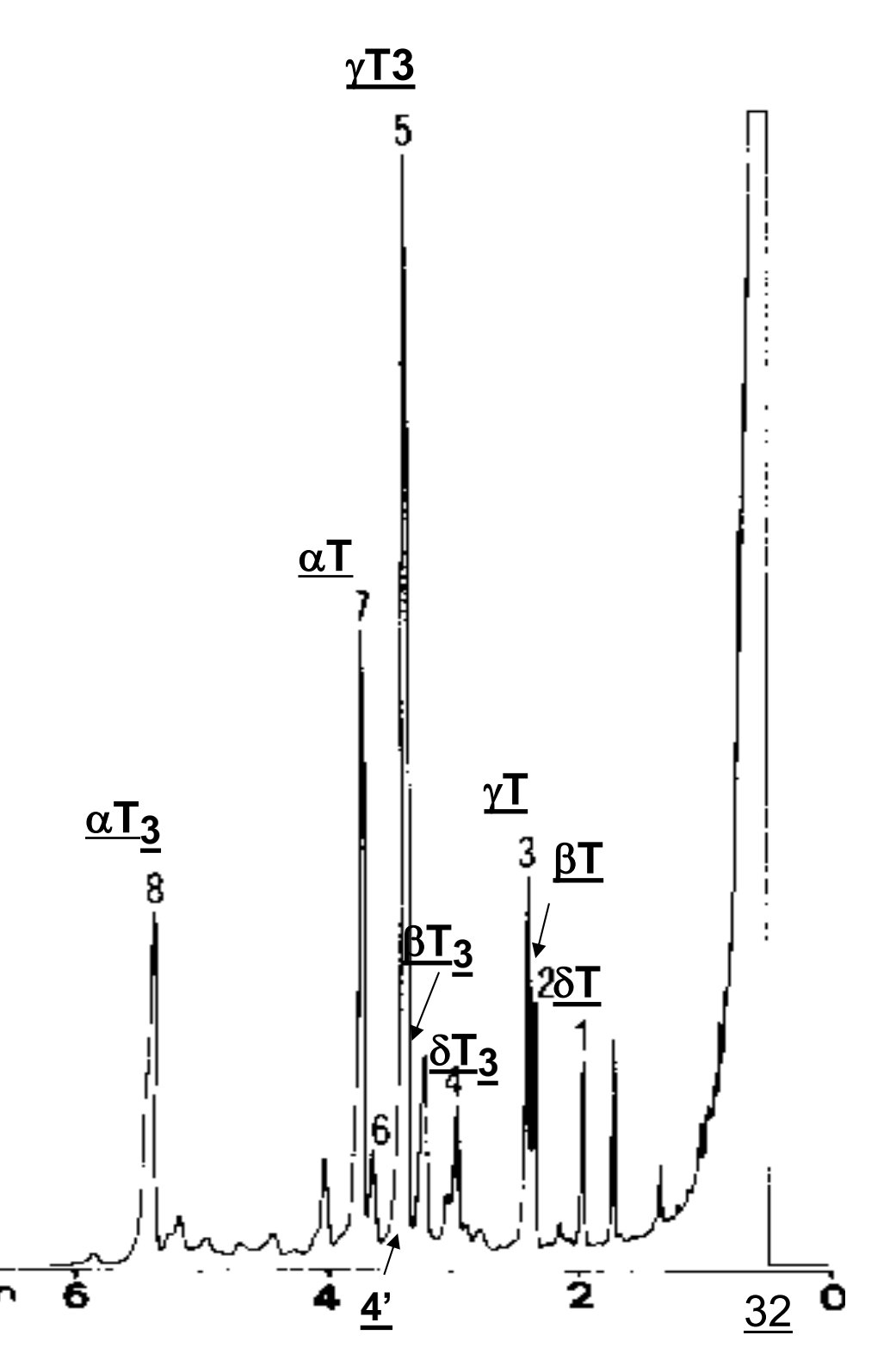
N. FREGA, G. LERCKER, La composizione dei lipidi della drupa di olivo durante la maturazione. Nota II: La frazione insaponificabile., Agrochimica, 29, 310-321 (1985)

# Analisi cGC dei tocoferoli

(picchi 1, 2, 3, 7) e dei tocotrienoli (picchi 4, 4', 5, 8)

Tracciato CGC di una miscela di tocoferoli e di tocotrienoli (da olio di palma e olio di vinaccioli). I componenti della struttura del tocolo sostituito sono: 1)  $\underline{\delta}$ -tocoferolo; 2)  $\underline{\beta}$ -tocoferolo; 3)  $\underline{\gamma}$ -tocoferolo; 4)  $\underline{\delta}$ -tocotrienolo, 5)  $\underline{\alpha}$ -tocoferolo; 6)  $\underline{\beta}$ -tocotrienolo; 7)  $\underline{\gamma}$ -tocotrienolo; 8)  $\underline{\alpha}$ -tocotrienolo. Colonna tipo "supported column open tubular" (SCOT) in vetro CGC di OV 17 lunga 15 m, di 0,25 mm di i.d. e di 0,10-0,15 μm di spessore di film (SCOT, con BaCO3). La colonna era regolata a 240 °C e con un flusso di elio di 2,5 ml/min

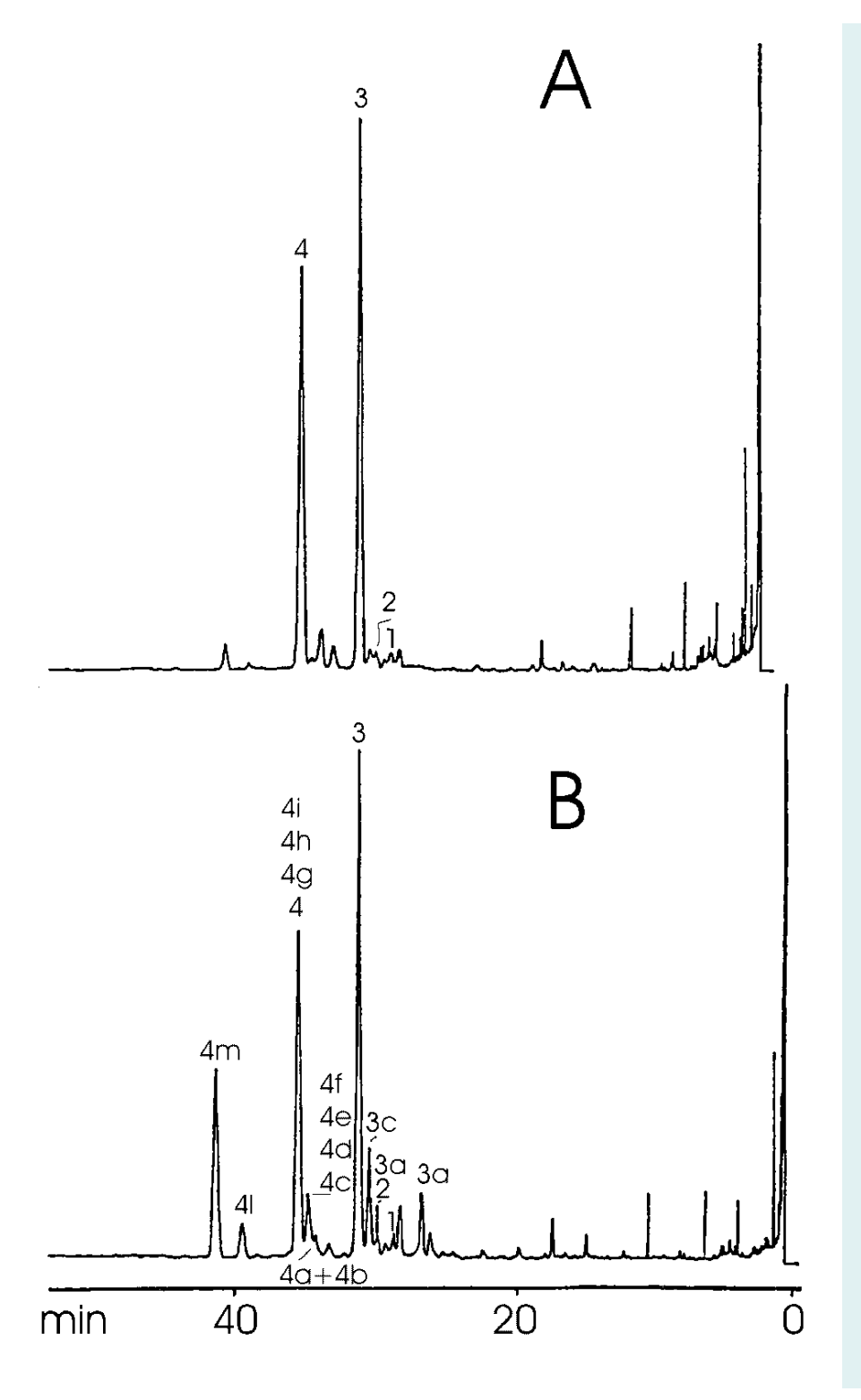
G. LERCKER, N. FREGA, P. CAPELLA, L.S. CONTE, La gascromatografia su colonne capillari (HRGC) nello studio dell'insaponificabile degli oli vegetali., Riv. Ital. Sostanze Grasse, 58, 324-330 (1981)



# Caratteristiche della possibilità analitica

 Determinazione rapida e totale dei tocoferoli e dei tocotrienoli di lipidi naturali

 Separazioni sufficienti e non ancora migliorate. per questi tempi di analisi



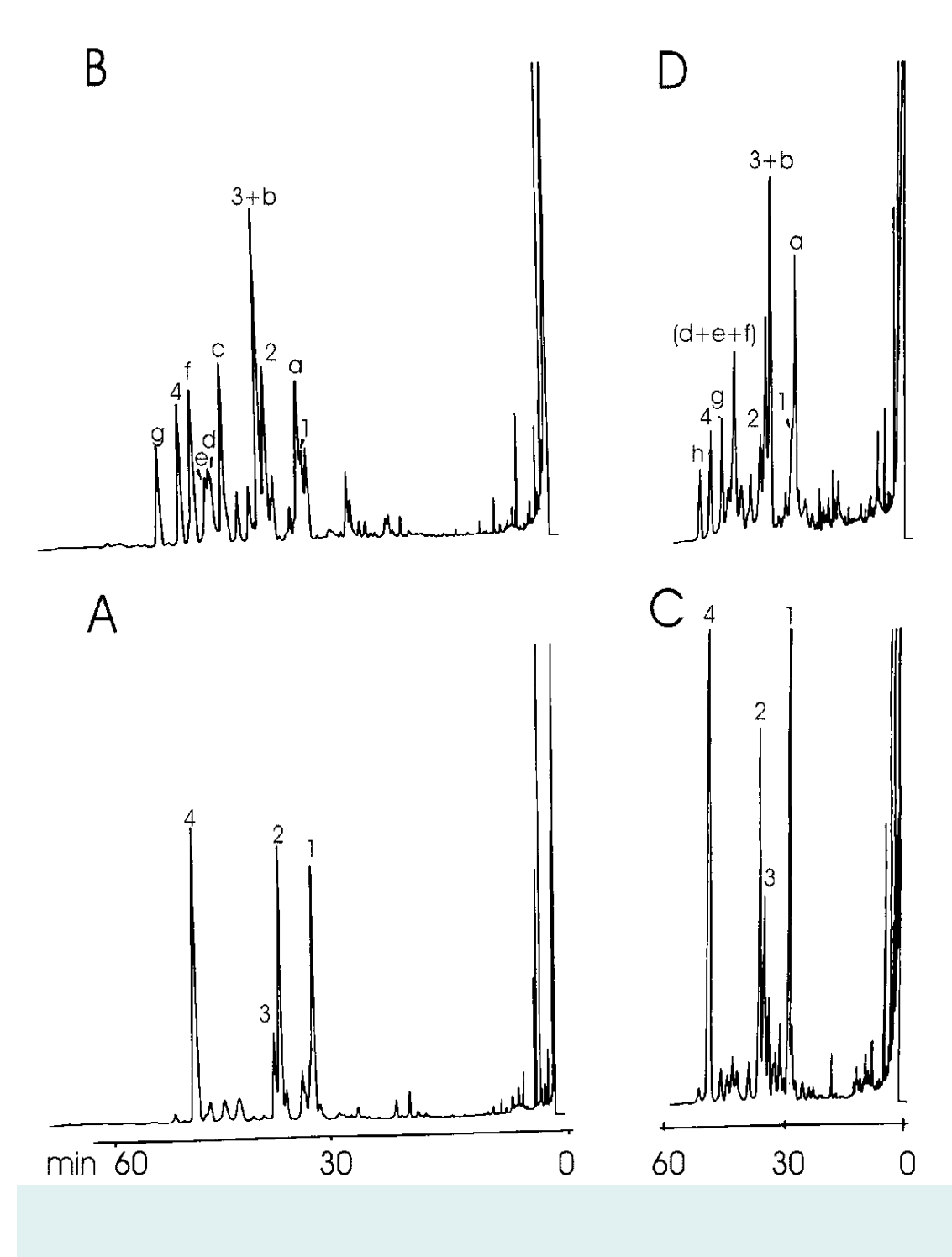
### 4.4'-dimetilsteroli

Tracciati CGC degli alcoli triterpenici (4,4'-dimetilsteroli) di un olio di mais, prima (tracciato A) e dopo idrogenazione industriale (tracciato B). Componenti indicati: 1)  $\beta$ -amirina; 2)  $\alpha$ -amirina; 3) cicloartenolo; 4) 24-metilencicloartanolo; 3a), 3b) e 3c) sono composti di neoformazione generati per isomeria del cicloartenolo; 4a) – 4m) sono isomeri del 24-metilencicloartanolo.

La colonna era capillare di vetro di SE 52 lunga 30 m, di 0,32 mm di i.d. e 0,2 µm di spessore di film ed era impiegata in temperatura isoterma a 260 °C, con un flusso di elio di 1 ml/min30

# A = naturaleB = dopo idrogenazione

A. STROCCHI, G. MARASCIO, Structural modification of 4,4'-dimethyl sterols during the hydrogenation of edible vegetable oils., Fat Sci. Technol., 95, 293-299 (1993)



#### 4-metilsteroli

Tracciati CGC dei 4-metilsteroli di un olio di mais: prima dell'idrogenazione (tracciati A e C) e dopo idrogenazione (tracciati B e D), ottenuti con l'impiego di due colonne capillari di vetro: colonna di SE 52 (tracciati A e B) lunga 30 m, di 0,32 mm di i.d. e 0,2 µm di spessore di film, e colonna di FFAP (tracciati C e D) lunga 20 m, di 0,32 mm di i.d. e con uno spessore di film di 0,2 µm. Le colonne hanno funzionato in temperatura isoterma a 260 °C e 220 °C. rispettivamente, e il flusso di elio era di 1 ml/min e 1,5 ml/min, rispettivamente. Componenti indicati: 1) obtusifoliolo; 2) gramisterolo; 3) cicloeucalenolo; 4) citrostadienolo; a), b) ed e) sono isomeri di neoformazione a partire in tutto o in parte dall'obtusifoliolo (b, deriva anche da un isomero dal gramisterolo); f) isomero del citrostadienolo; c) isomero dal gramisterolo; g) isomero del citrostadienolo

Col. SE52 A = naturale

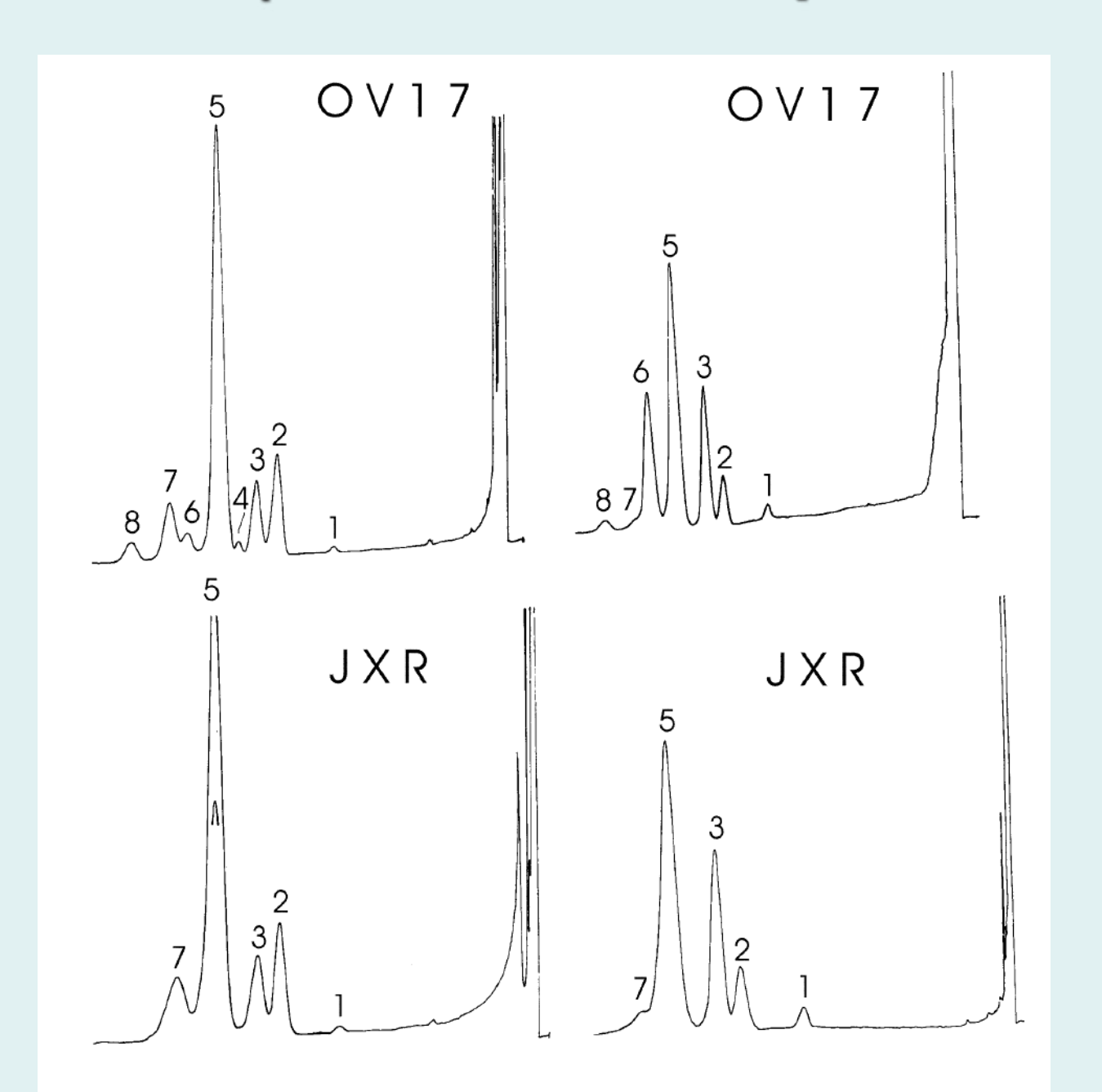
B = dopo idrogenazione

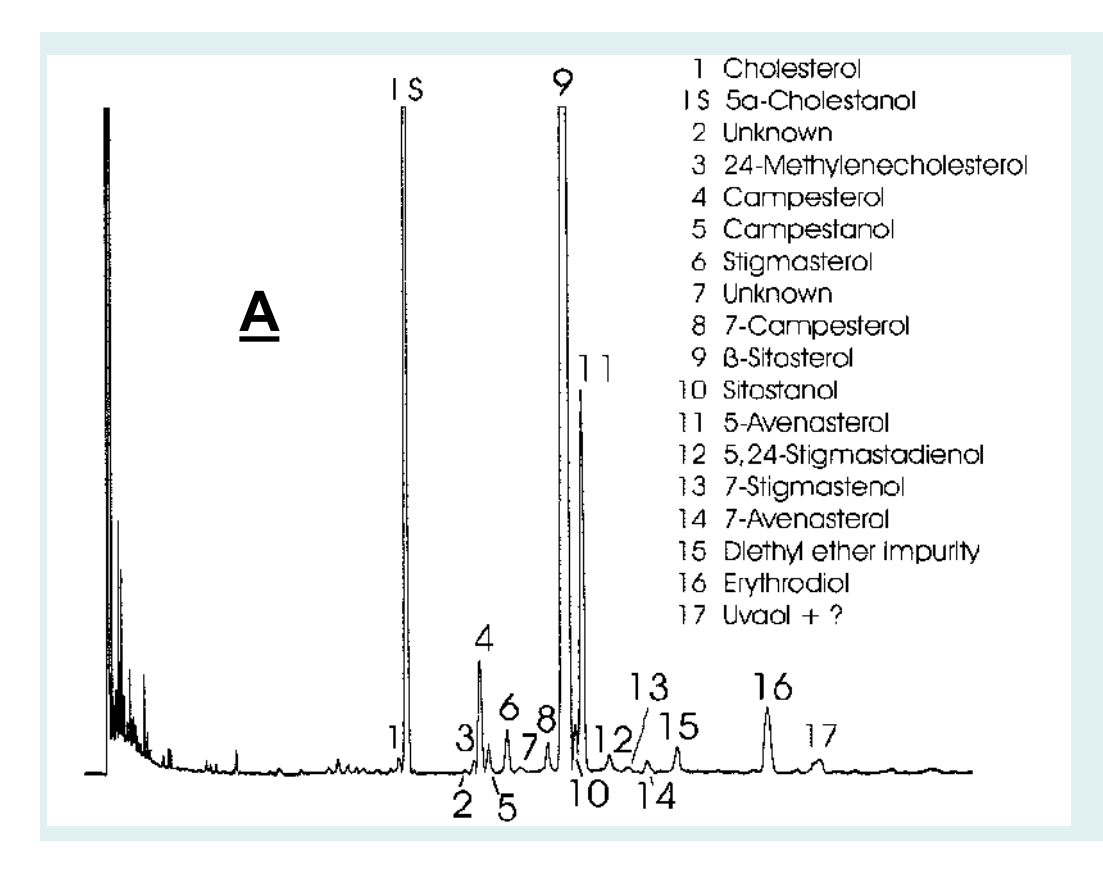
Col. FAAP C = naturale

D = dopo idrogenazione

A. STROCCHI, Oli vegetali e corrispondenti grassi idrogenati: variazioni quali-quantitative delle composizioni degli steroli, dei 4a-metil steroli e dei 4,4'-dimetil steroli., Riv. Ital. Sostanze Grasse, 64, 401-409 (1987)

## Steroli (colonna GC impaccata)

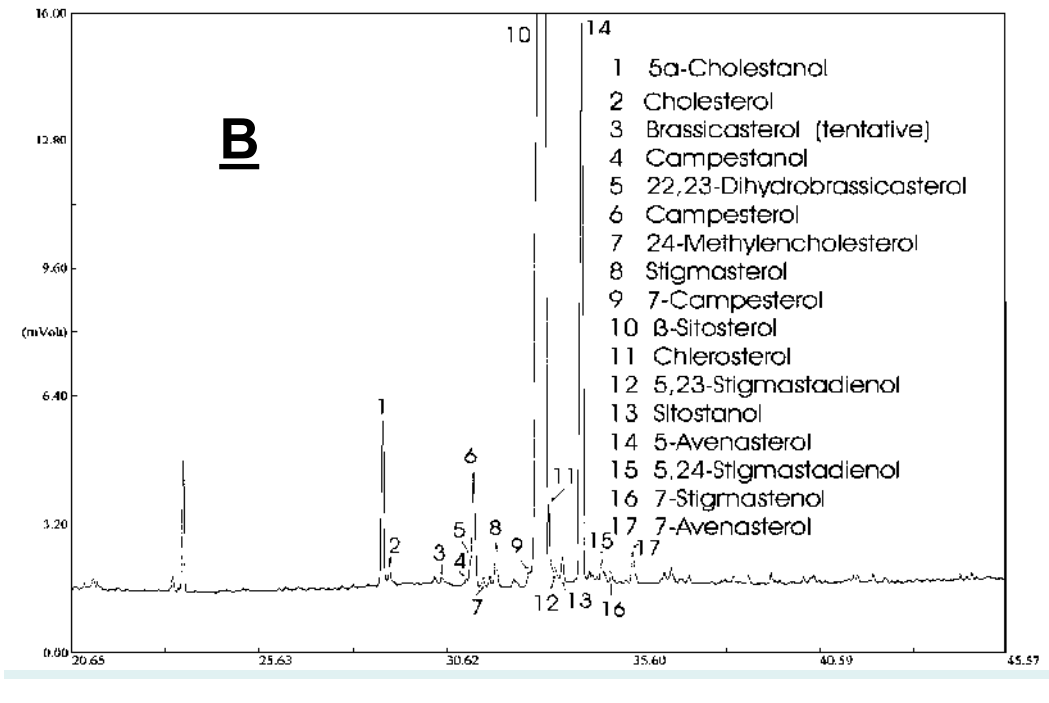




#### Colonna di SE 52 di 25 m (Metodi Ufficiali CE)

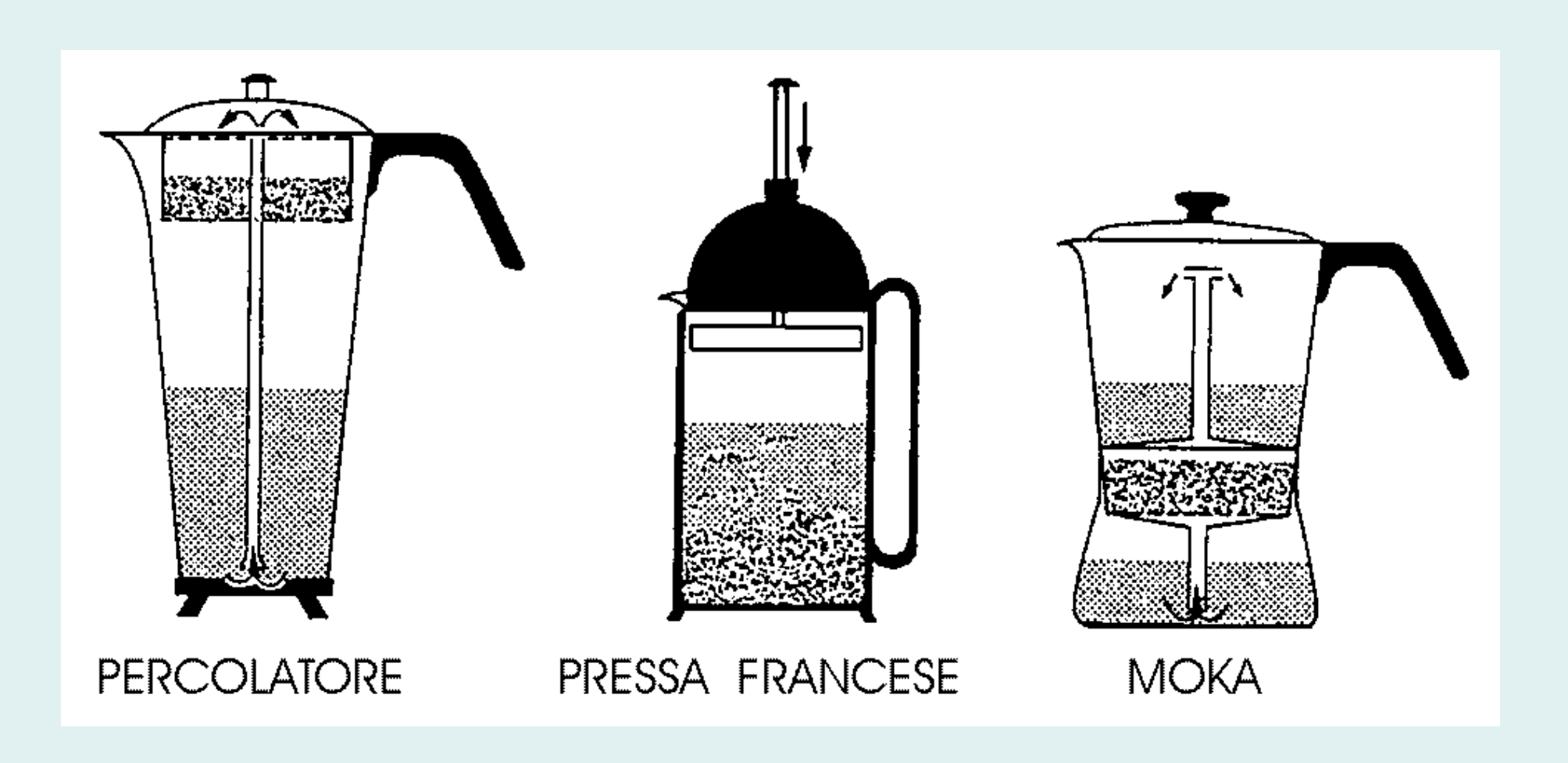
### Analisi cGC degli steroli

Colonna di TAP di 25 m

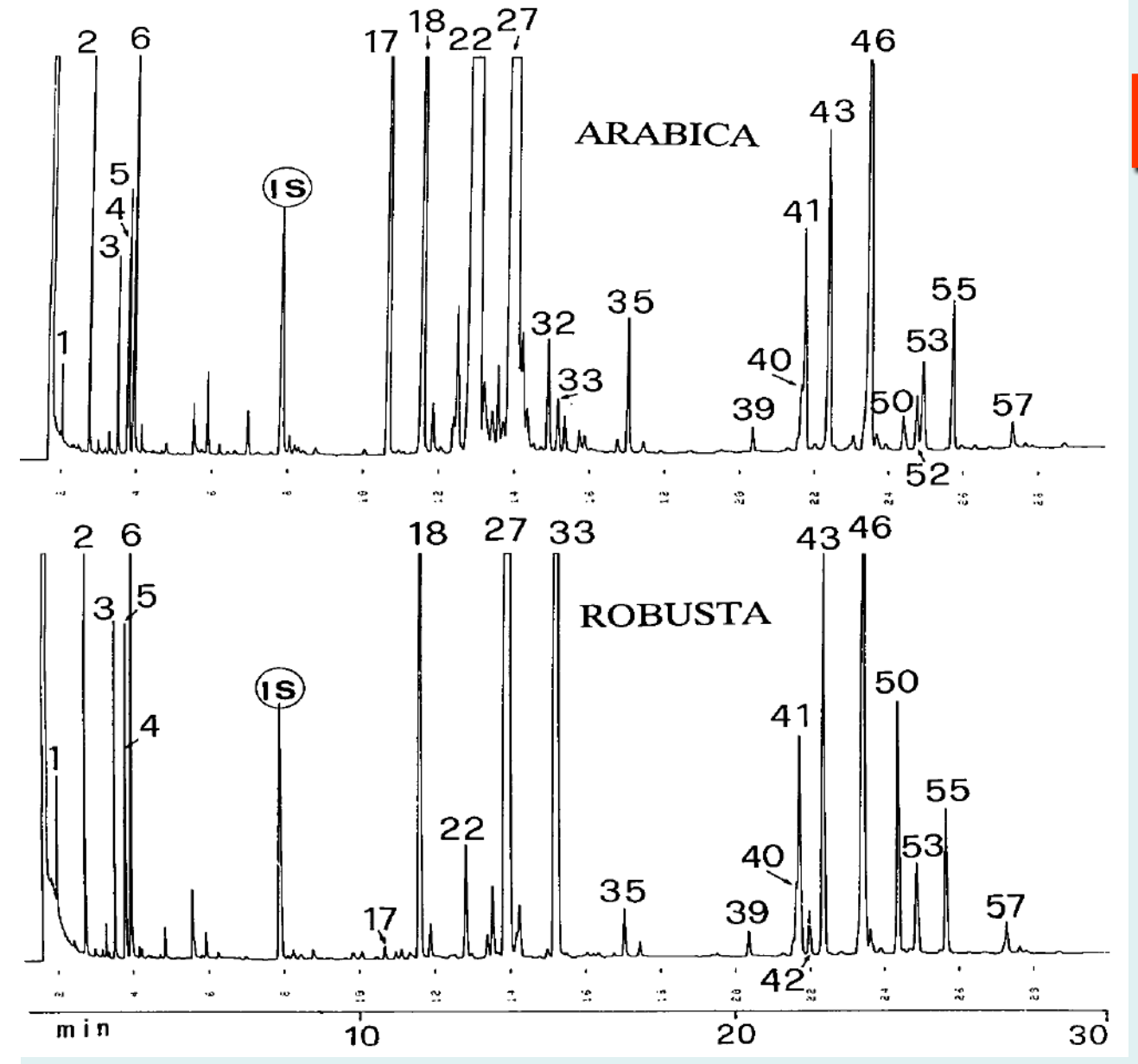


M.T. RODRIGUEZ-ESTRADA, N. FREGA, G. LERCKER, Applications on thermostable polar capillary columns., Grasas Y Aceites, 53(1), 76-83 (2002)

### Alcune modalità per ottenere la tazzina di caffè a livello casalingo



R. UGHERT, G. van der WEG, T.G. KOSMEIJER-SCHUIL, P. van de BOVENKAMP, R. HOVENIER, M.B. KATAN, Levels of the cholesterol-elevating diterpenes Cafestol and Kahveol in various coffee brews., J. Agric. Food Chem., 43, 2167-2172 (1995)



### Fattore X

#### DITERPENOIDI DEL CAFFÉ

Cafestol (22)

Kahweol (27)

16-O-methyl cafestol (33)

N. FREGA, F. BOCCI, G. LERCKER, High resolution gas chromatographic method for determination of Robusta coffee in commercial blends, J. High Resol. Chrom., 17, 303-307 (1994)

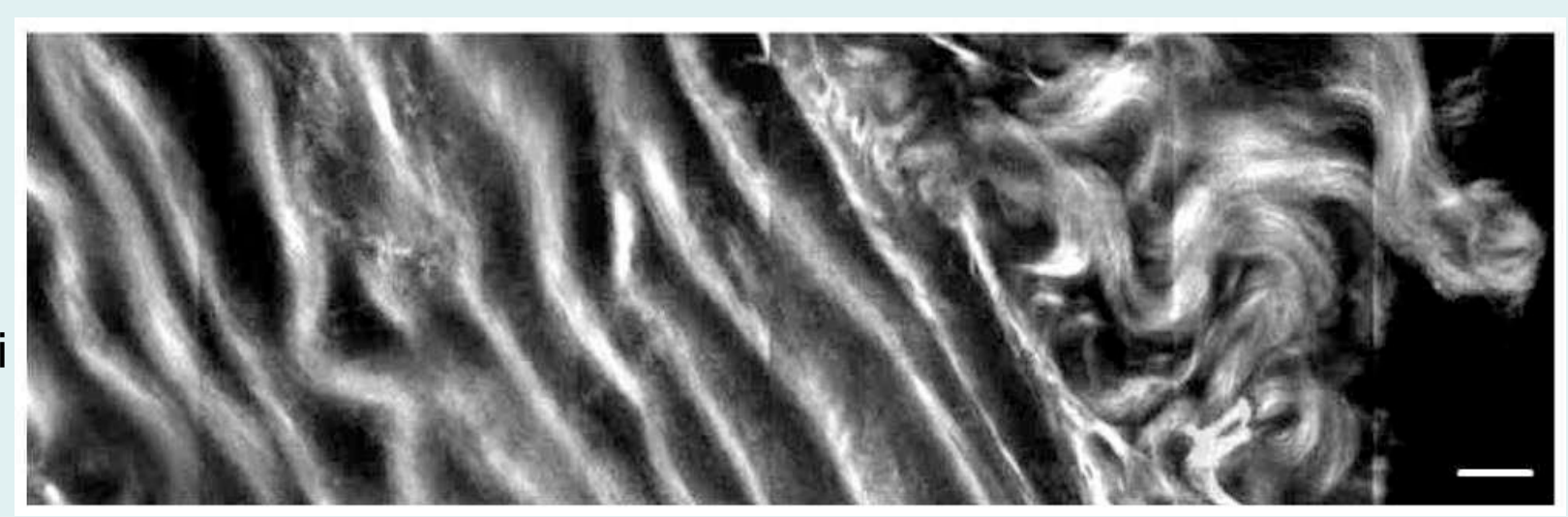
D. PACETTI, E. BOSELLI, M. BALZANO, N.G. FREGA, <u>Authentication of Italian Espresso coffee blends</u>

through the GC peak ratio between kahweol and 16-O-methylcafestol., <u>Food Chem.</u>, 135(3), 1569-1574 (2012)

### Sezioni di pareti di aorta di ratto a contatto con sostanze ossidate



**con** antiossidanti

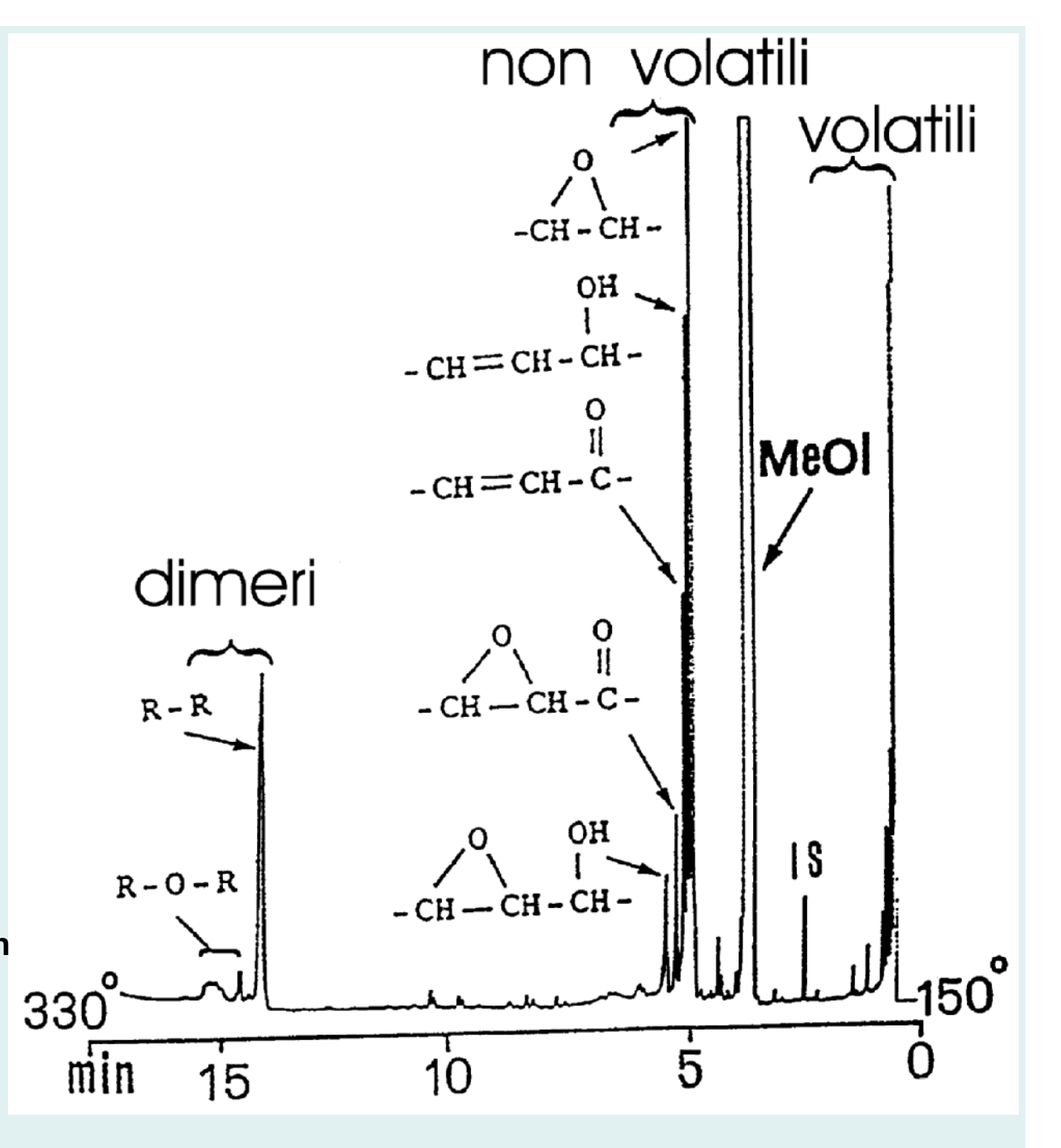


**senza** antiossidanti

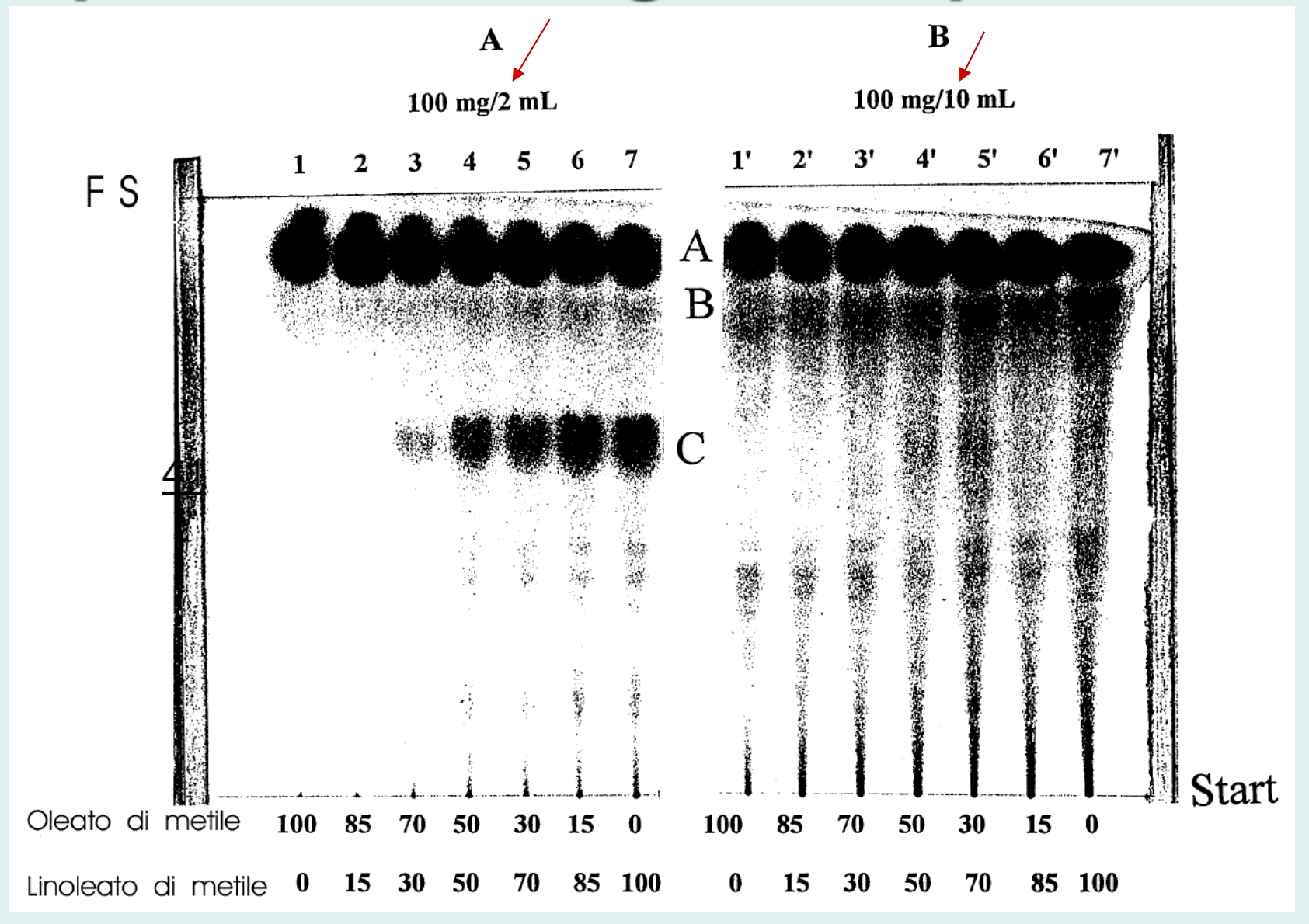
da T. Parasassi et al., Free Radical Biology & Medicine, 28, 1589-1597 (2000)

### Ossidazione dell'oleato di metile

G. LERCKER, Short capillary columns in the analysis of lipids., J. Chromatogr., 279, 543-548 (1983).

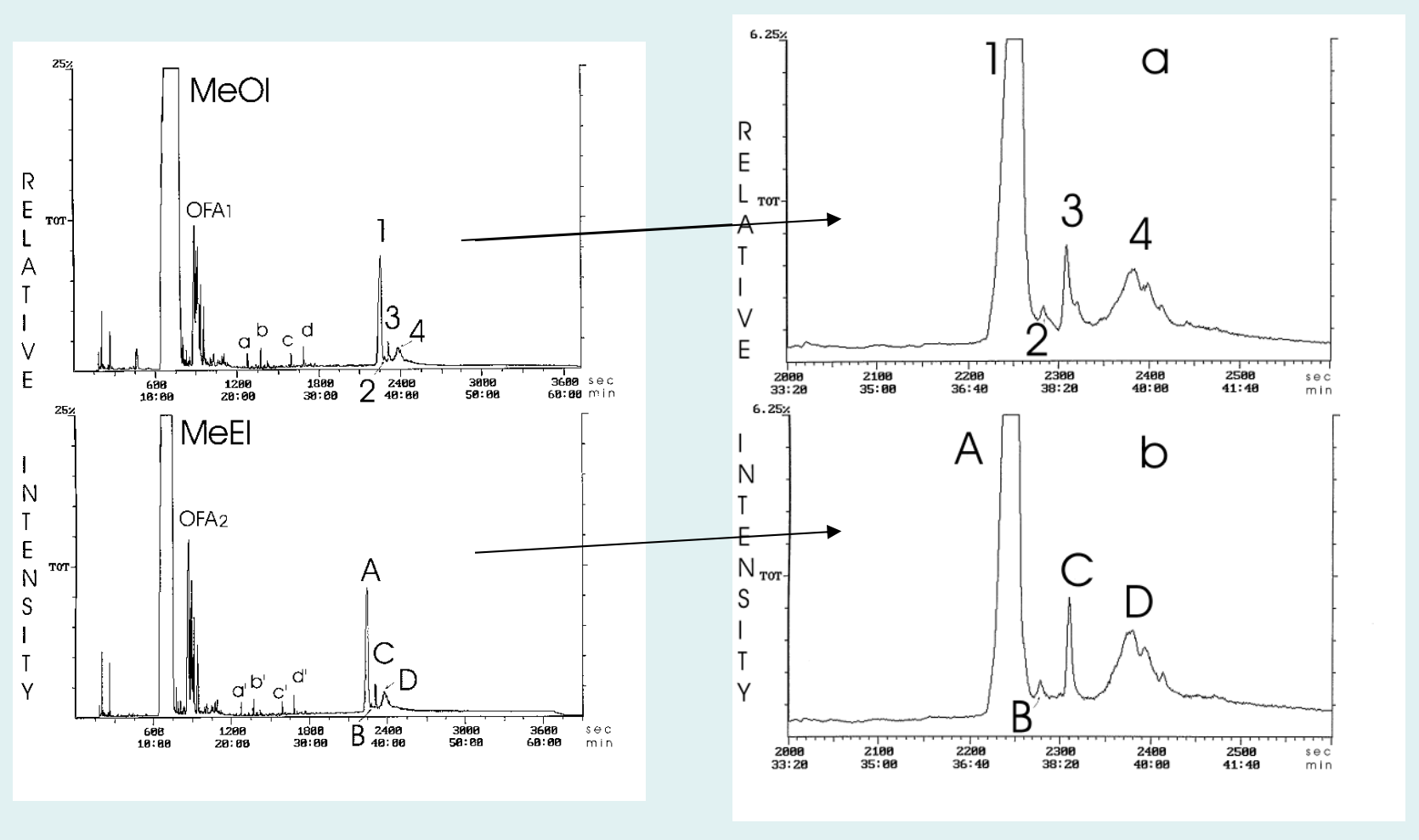


#### La quantità di ossigeno disponibile



K. AL-ISMAIL, M.F. CABONI, M.T. RODRIGUEZ-ESTRADA, G. LERCKER, The influence of oxygen content on the extent of oxidation of model systems of mixtures of methyl oleate and methyl linoleate with different proportion., Grasas Y Aceites, 50, 448-453 (1999).

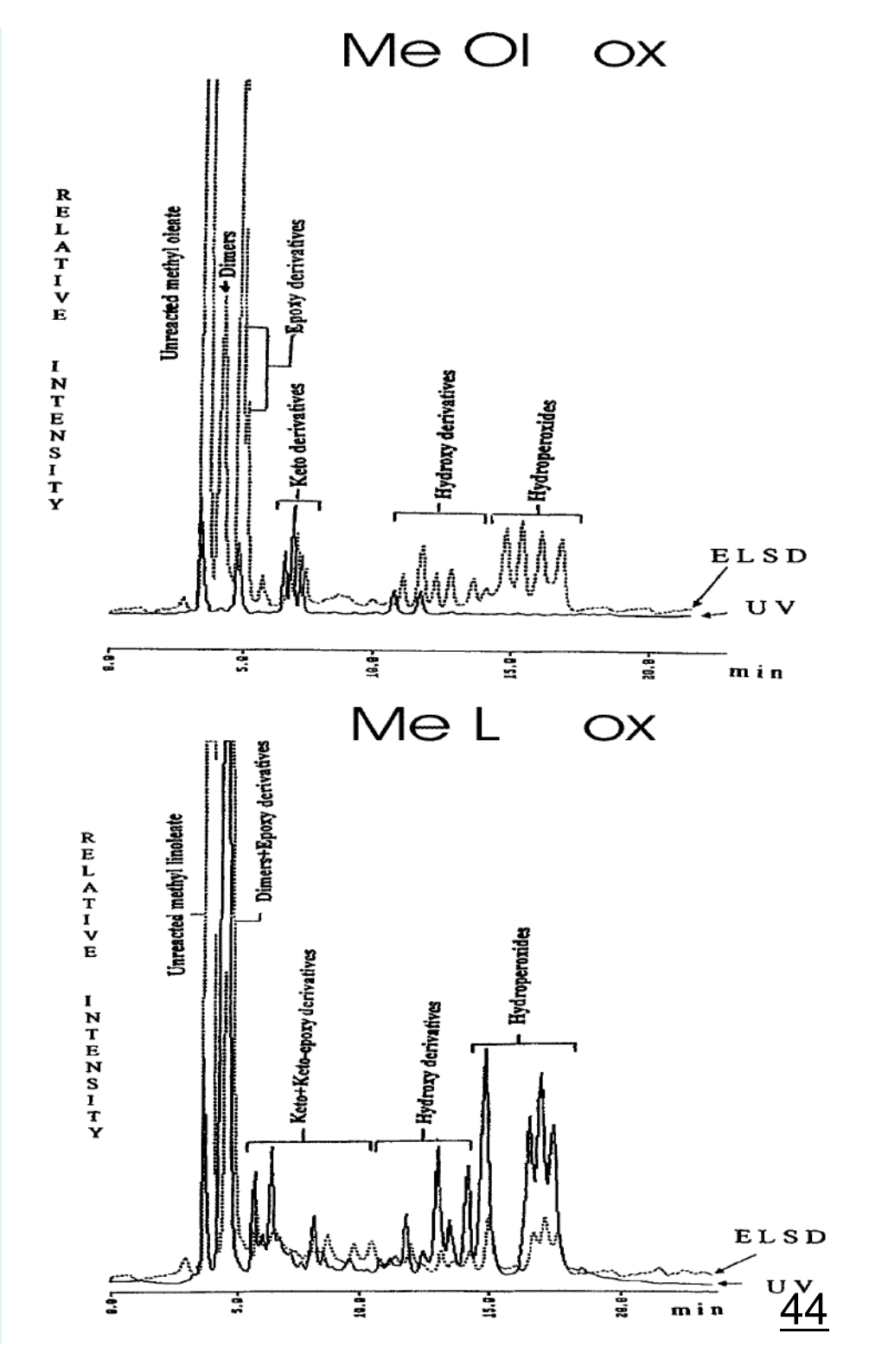
### Complessità dei componenti a struttura dimerica



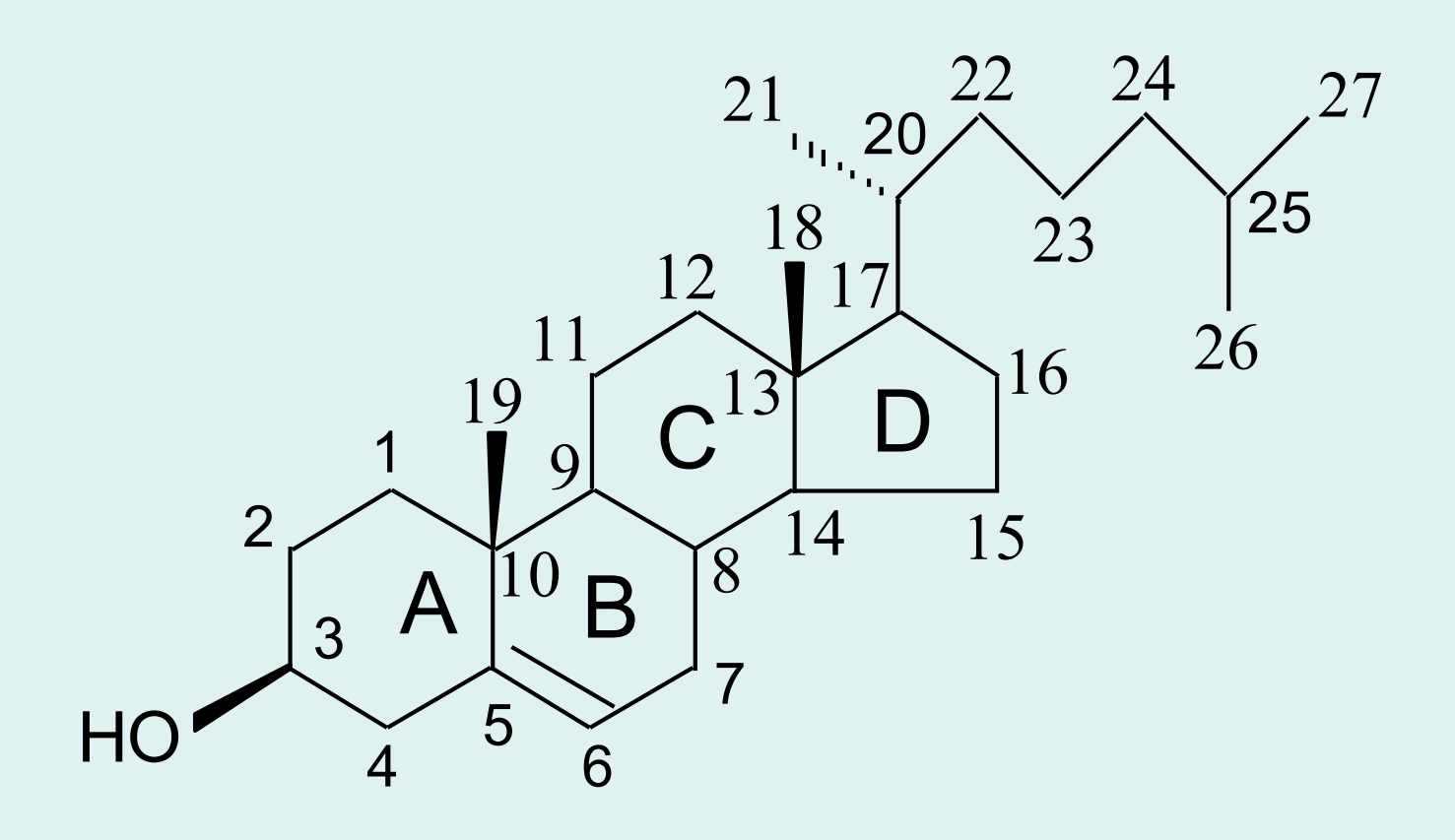
G. LERCKER, M.T. RODRIGUEZ-ESTRADA, M. BONOLI, Analysis of the oxidation products of *cis*- and *trans*-octadecenoate methyl esters by capillary gas chromatography-ion-trap mass spectrometry. I. Epoxide and dimeric compounds., J. Chromatogr. A, 985, 333-342 (2003).

## Ossidazione dell'oleato di metile e del linoleato di metile (analisi HPLC)

K. AL-ISMAIL, M.F. CABONI, G. LERCKER, HPLC analysis of thermally oxidized lipid model systems and vegetable oils using light scattering detector., Riv. Ital. Sostanze Grasse, 75, 235-239 (1998).

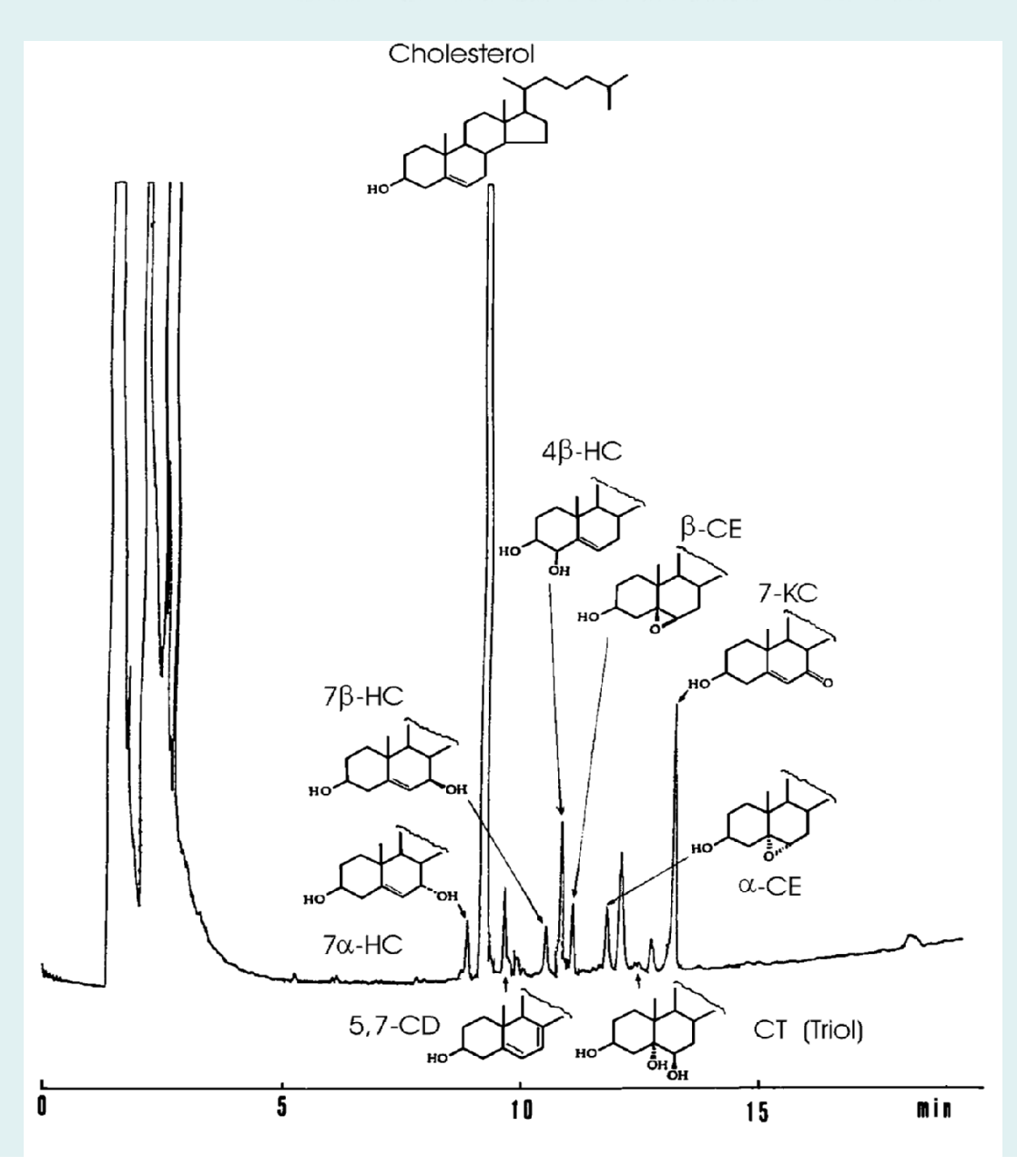


#### LA MOLECOLA DEL COLESTEROLO



Cholesterol

### Ossidazione del colesterolo



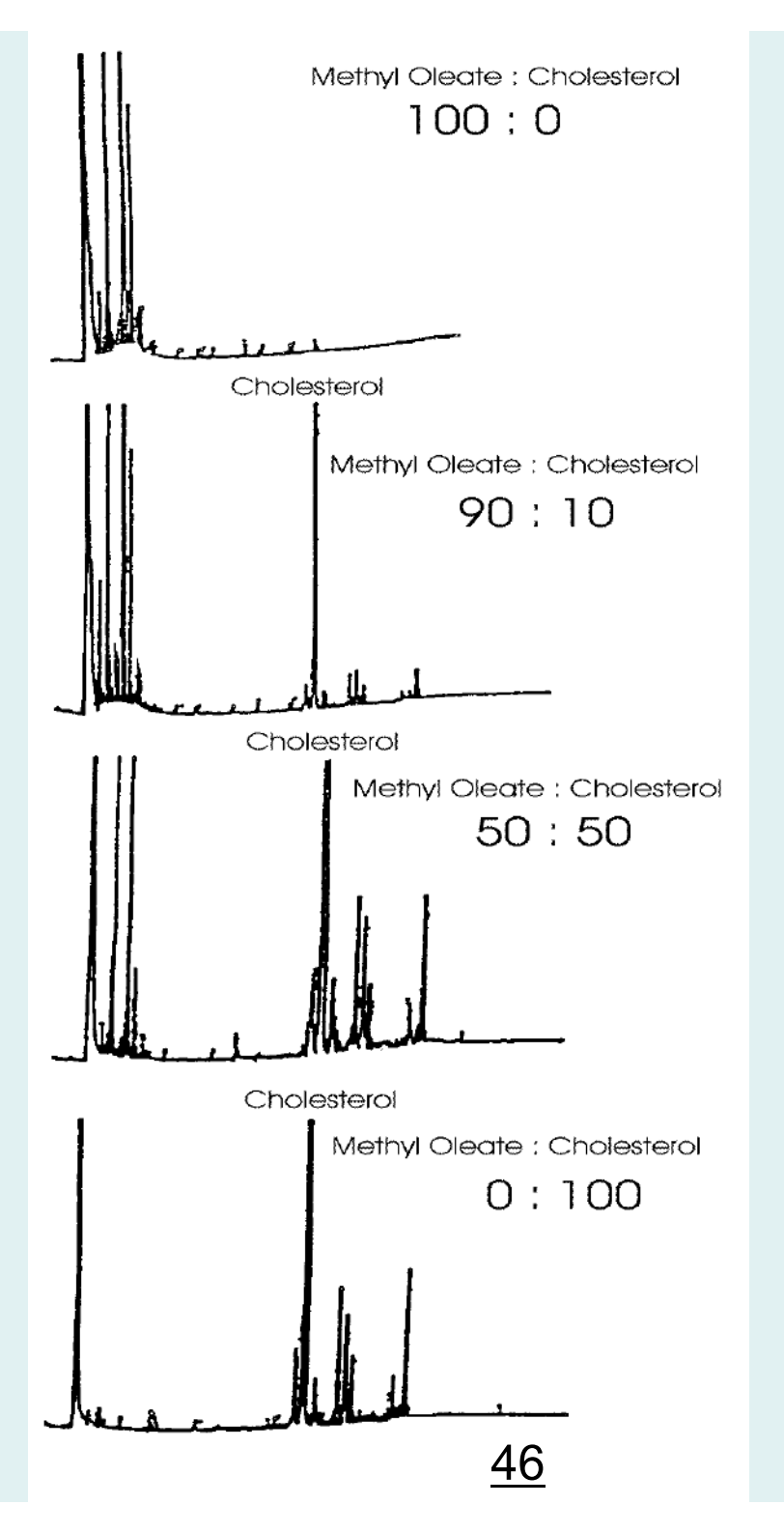
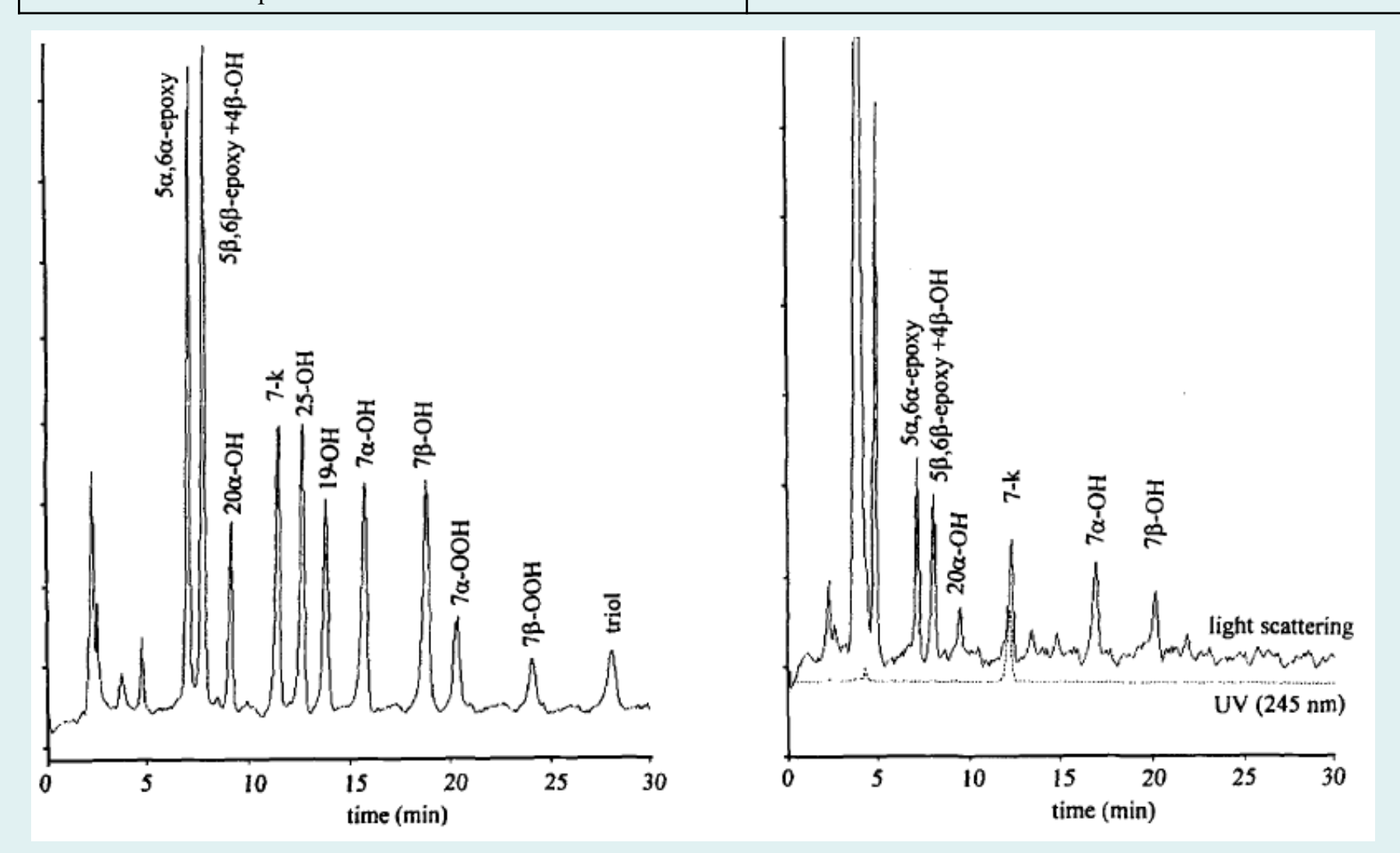


Figure 1
HPLC-light scattering detector trace of the COPs standard mixture containing 5c~,6et epoxide, 513,613-epoxide, 413-OH, 20ct-OH, 7-k, 25-OH, 19-OH, 7~x-OH, 713-OH, 7~-OH, 7J3-OOH and *triol*. See Materials and Reagents section for compound abbreviations.

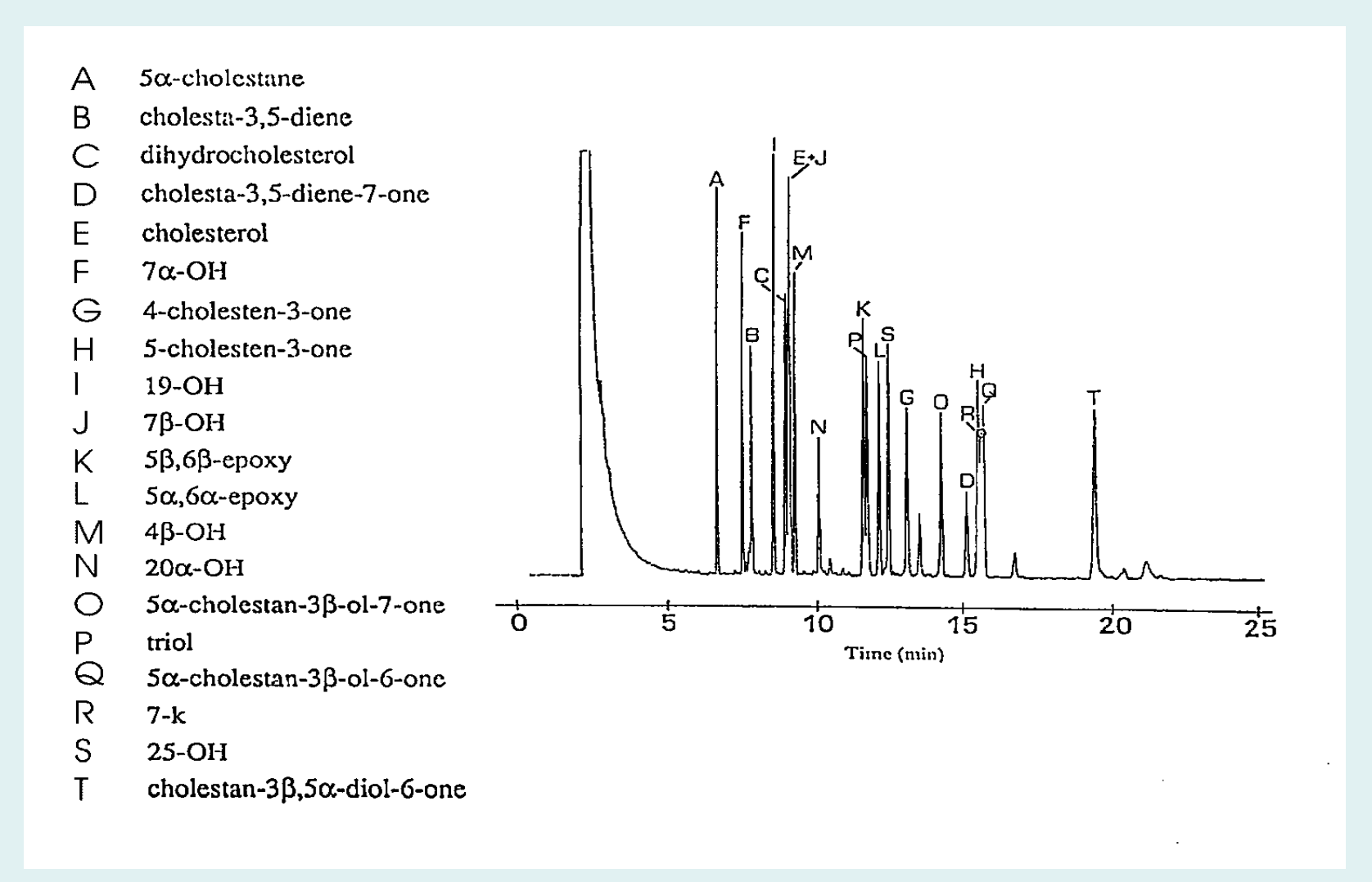
Figure 2
HPLC traces of the unsaponifiable fraction of egg yolk powder,
obtained with LS and UV (245 nm) detectors. See Materials
and Reagents section for *compound* abbreviations.



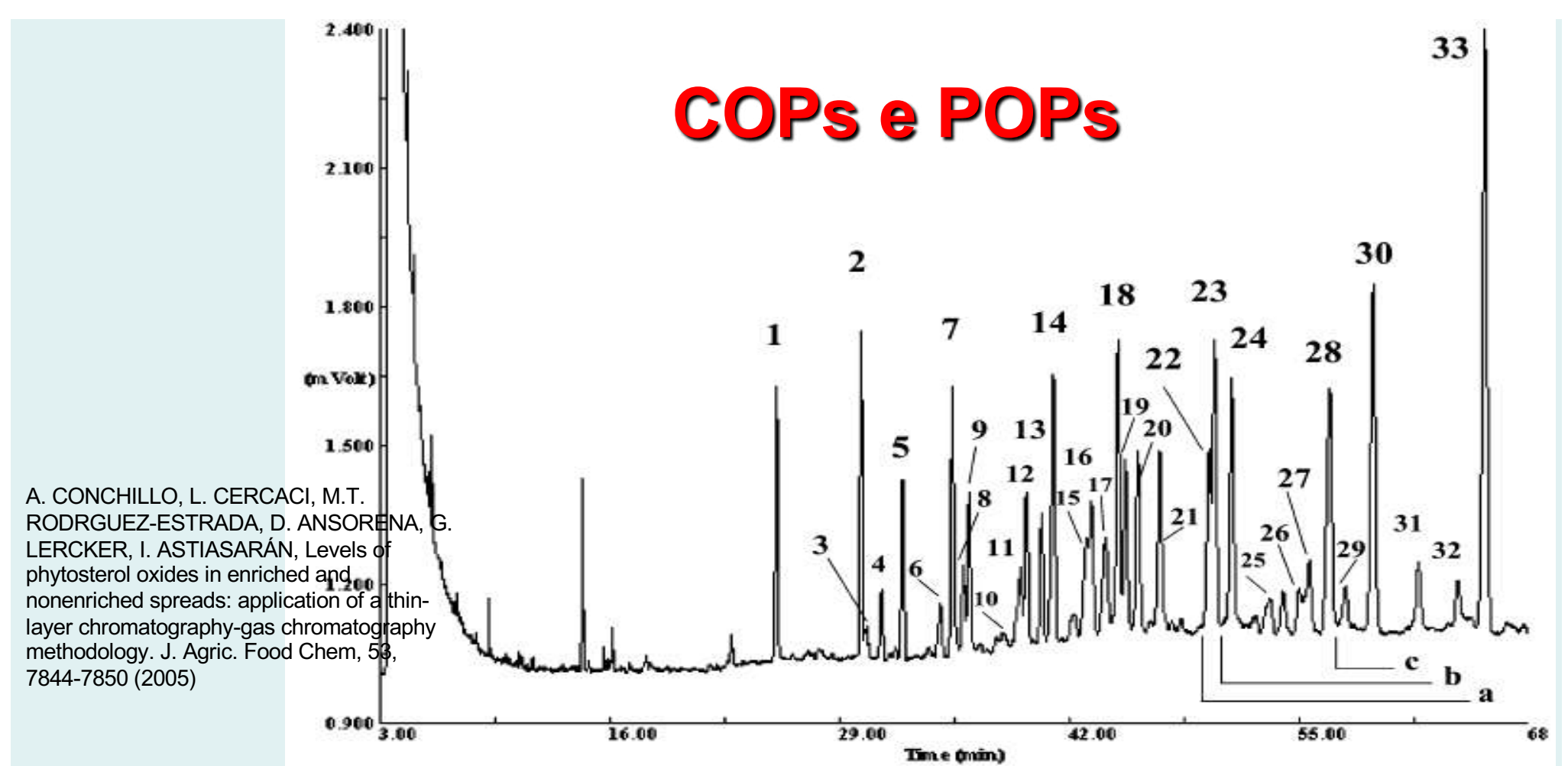
M.F. CABONI, A. COSTA, M.T. RODRIGUEZ-ESTRADA, G. LERCKER, High performance liquid chromatographic separation of cholesterol oxidation products., Chromatographia, 46, 151-155 (1997)

<u>4 /</u>

Analisi CGC di una miscela di standard di "ossisteroli" (prodotti di ossidazione del colesterolo, o COPs), sotto forma di TMS derivati. Colonna in silice fusa di TAP lunga 25 m, di 0,25 mm di i.d. e con uno spessore di film di 0,1 µm. La colonna ha lavorato in temperatura programmata da 245 °C fino a 265 °C con un gradiente di 3,5 °C/min, poi fino a 290 °C con un gradiente di 2,5 °C/min e un flusso di elio di 0,7 ml/min



M.T. RODRIGUEZ-ESTRADA, M.F. CABONI, A. COSTA, G. LERCKER, Gas chromatographic analysis of cholesterol oxidation products on a thermostable medium polar capillary column., J. High Res. Chromatogr., 21, 509-512 (1998)



GC trace of a standard mixture of commercially available COPs and synthesized POPs obtained by thermoxidation. Triols are not included in this GC trace, but their retention times (RT) are indicated (a, RT of campestanetriol; b, RT of stigmastentriol; and c, RT of sitostanetriol). For GC conditions, refer to the Experimental Section. Peak identification: 1,  $7\alpha$ -hydroxycholesterol; 2, 19-hydroxycholesterol (internal standard); 3, $7\alpha$ -hydroxycampesterol; 4,  $7\alpha$ -hydroxystigmasterol; 5,  $7\beta$ -hydroxycholesterol; 6,  $7\alpha$ -hydroxystigmasterol; 7,  $5\beta$ , $6\beta$ -epoxycholesterol; 8, unknown; 9,  $5\alpha$ , $6\alpha$ -epoxycholesterol; 10,  $7\beta$ -hydroxycampesterol; 11,  $7\beta$ -hydroxystigmasterol; 12, unknown; 13, unknown; 14, cholestanetriol; 15,  $5\beta$ , $6\beta$ -epoxycampesterol; 16, side chain-hydroxycampesterol (tentative); 17,  $5\alpha$ , $6\alpha$ -epoxycampesterol; 18,  $5\beta$ , $6\beta$ -epoxystigmasterol +  $7\beta$ -hydroxysitosterol; 19, side chain-hydroxystigmasterol (tentative); 20,  $5\alpha$ , $6\alpha$ -epoxystigmasterol; 21, 7-ketocholesterol; 22,  $5\beta$ , $6\beta$ -epoxysitosterol; 23, side chain-hydroxysitosterol (tentative); 24,  $5\alpha$ , $6\alpha$ -epoxysitosterol; 25, 4-campesten- $6\alpha$ -ol-3-one (tentative); 26, 6-ketocampestanol; 27, 4-stigmasten- $6\alpha$ -ol-3-one (tentative); 28, 7-ketocampesterol; 29, 6-ketostigmasterol; 30, 7-ketostigmasterol; 31, 4-sitosten- $6\alpha$ -ol-3-one (tentative); 32, 6-ketositostanol; and 33, 7-ketositosterol.

#### CARNI ROSSE ESPOSTE ALLA LUCE



	Fette di	Condizione di	COPs	COP singolo	COPs totali	COPs totali
	carne di	illuminazione	identificato	μg/g di lipidi	μg/g di lipidi	Mg/g muscolo
	Bovino	Luce fluorescente "calda", 8	7α-ΗС	9-31	49 – 113	0,09 – 0,22
		ore in atmosfera normale e	7β-нс	10,5 – 41,5	Atmosfera	Atmosfera
		in MAP (32% di O₂) per 8	β-СЕ	7,4 – 25	normale	normale
		giorni.	α-CE	0,8 – 5,6	120 – 157	0,22 – 0,33
		Film trasparente	20-HC	0,9 – 18	MAP	MAP
			7-KC	18 – 58	I VIAI	
	Cavallo	Lampada fluorescente a	<b>7</b> α-HC	36 – 66	233 – 317	7,2 – 7,9
		luce di giorno, in atmosfera	7β-нС	34 – 77	film	film trasparente
		normale per 8 ore. Film	β-СЕ	15,5 – 51	trasparente	3,8 – 5,5
		trasparente e film rosso	α-CE	5,5 – 1,7	139 – 173	film rosso
Duoconno di			triolo	0 – 2,8	film rosso	
Presenze di			7-KC	46 -105	1111110330	
CODe	Suino	Lampada fluorescente a	7α-ΗС	0,9 – 2,1	9 – 16	0,5 – 1,1
COPs		luce di giorno, per 8 ore in	7β-нС	1,4 – 3,2	al buio	al buio
		atmosfera normale. Film	β-СЕ	1,6 – 4,1	11 – 16	0,6 – 0,9
		trasparente	α-CE	2,0 – 3,2	alla luce	alla luce
			7-KC	1,7 – 4,4		
	Tacchino	Film trasparente	7α-ΗС	3,6 – 57	24 – 183	0,03 – 6,8
		Luce fluorescente "calda"	7β-нс	4,8 – 71	al buio	al buio
		/a luce di giorno , in	β-СЕ	7 – 53	38 – 142	0,055 – 5,3
		atmosfera normale per 0-	α-CE	1,6 – 14,2	alla luce"calda"	alla luce "calda"
Boselli E., Cardenia V., Rodriguez-Estrada		11 giorni	triolo	1,2 – 5,3	49,5 – 283	0,072 – 10,0
<b>Cholesterol photosensitized oxidation foods.</b> , Eur. J. Lipid Sci. Technol., 114, 64			7-KC	5,1 - 85	luce di giorno	luce di giorno
	Sardina	Lampada fluorescente a	7α-ΗС	3,2 – 10,4	61,3 – 76,2	1,5 – 2,5
		luce di giorno, per 4 ore a 4	7β-нС	4,8 – 16,0	al buio	al buio
		°C in atmosfera normale	β-СЕ	5,9 – 21,8	51,3 – 58,7	2,2 – 3,7
		Film trasparente	α-CE	3,0 – 8,0	luce di giorno	luce di giorno
			triolo	0,7 – 3,6	1.000 01 8.01.110	
			7-KC	6,0 – 19,1		51

#### Il caso della carne di cavallo

Campione	Sostanza grassa %	Colesterolo Ossidato %	COPs Totali µg/g di lipidi	Triolo µg/g di lipidi
T <sub>0</sub> confezione trasparente	3,1	3,1 ± 0,6	233	ND
T <sub>8</sub> confezione trasparente	2,5	2,5 ± 0,5	317	2,8
T <sub>0</sub> confezione rossa	3,2	$3,2 \pm 0,4$	173	ND
T <sub>8</sub> confezione rossa	2,7	2,7 ± 0,6	139	2,4

<u>52</u>

V. CARDENIA. M.T. RODRIGUEZ-ESTRADA, F. CUMELLA, L. SARDI, G. DELLA CASA, G. LERCKER, Oxidative stability of pork meat lipids as related to high-oleic sunflower oil and vitamin E supplementation and storage conditions., Meat Sci., 88 271-279 (2011)

### Quantità problematica di COPs (con esposizione alla luce)

Al massimo: 0,15 mg/per persona al giorno (Kroes et al., 2004)

- Carne di cavallo: COPs totali = 3,8 7,8 mg/ kg di muscolo
- Carne di manzo: COPs totali = 0,1 0,33 mg/ kg di muscolo
- Carne di suino: COPs totali = 0,5 1,1 mg/ kg di muscolo
- Carne di tacchino: COPs totali = 0,03 10 mg/ kg di muscolo
- Filetti di sardine: COPs totali = 0,7 2,3 mg/ kg di muscolo
- Uova in polvere: COPs totali = 2,9 59,9 mg/ kg di prodotto
- Biscotti all'uovo: COPs totali = 0,4 1,8 mg/ kg di prodotto
- Biscotti al burro: COPs totali = 0,3 27,0 mg/ kg di prodotto
- Pasta all'uovo: COPs totali = 52 201 mg/ kg di lipidi
- = 1,3 5,0 mg/ kg di prodotto

V. CARDENIA, M.T. RODRIGUEZ-ESTRADA, E. BOSELLI, G. LERCKER, Cholesterol photosensitized oxidation in food and biological systems., Biochimie, 95, 473-481 (2013)

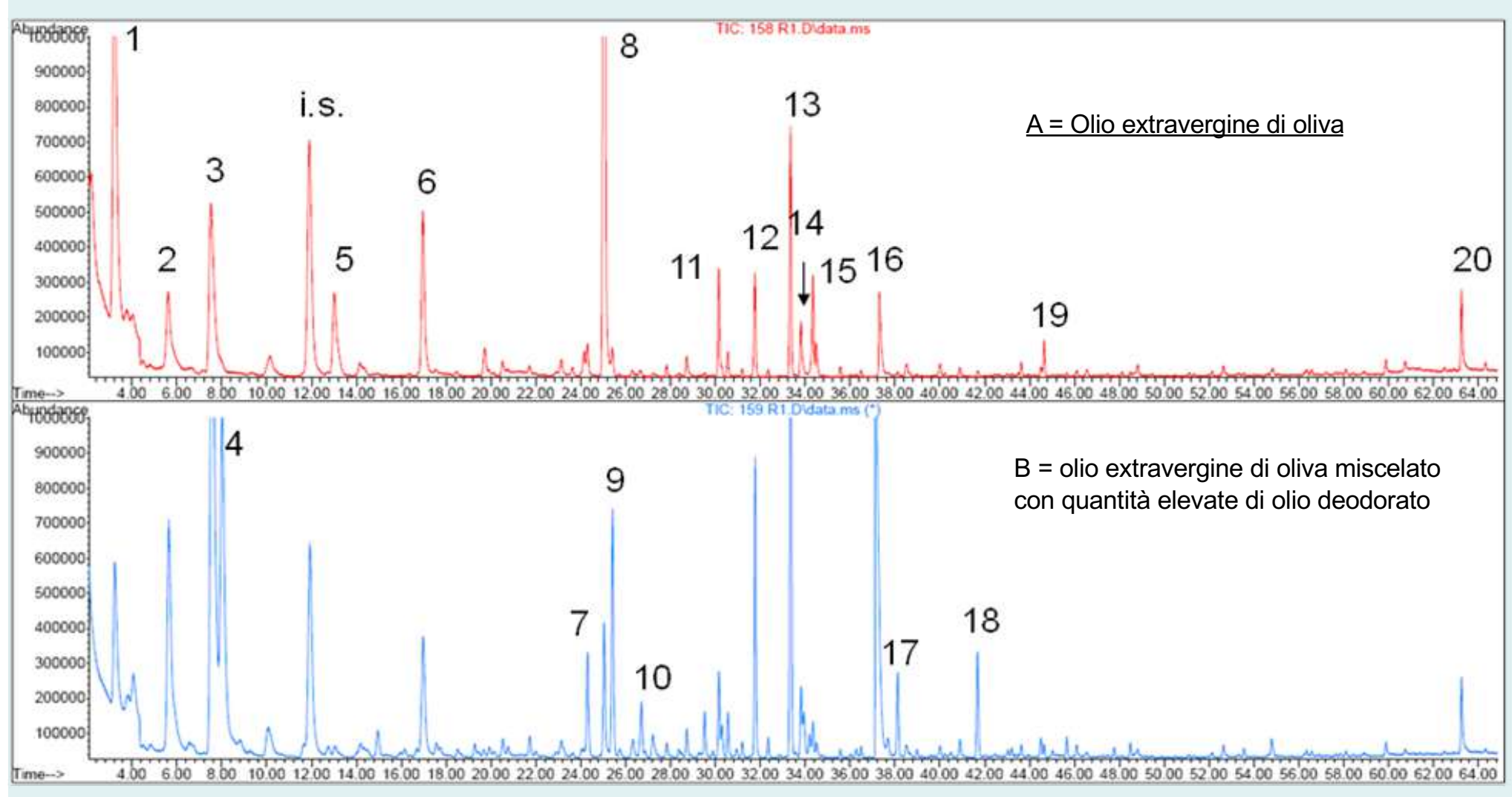
### Modificazioni dell'olio extravergine di oliva nella fase di conservazione

Riequilibrio dei componenti

 Equilibrio RED-OX (alcoli-aldeidiacidi; pigmenti; ossigeno)

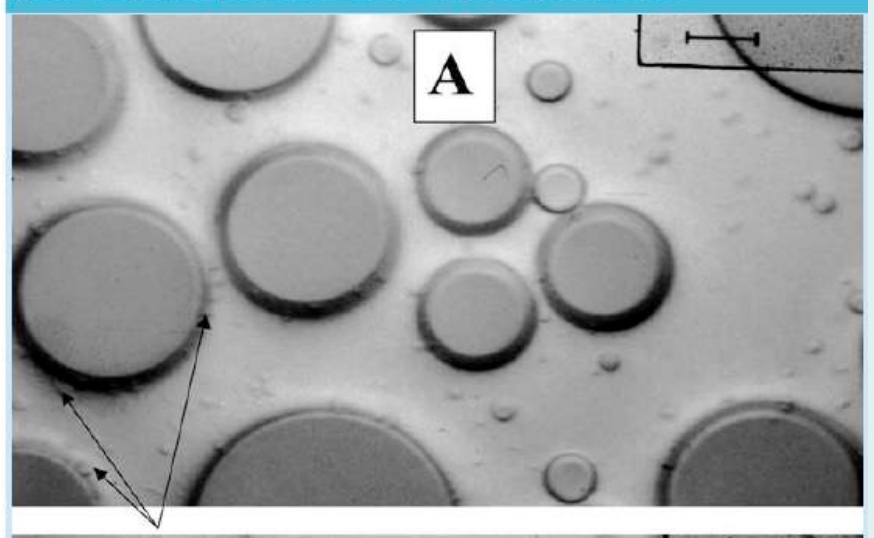
Idrolisi (acidificazione)

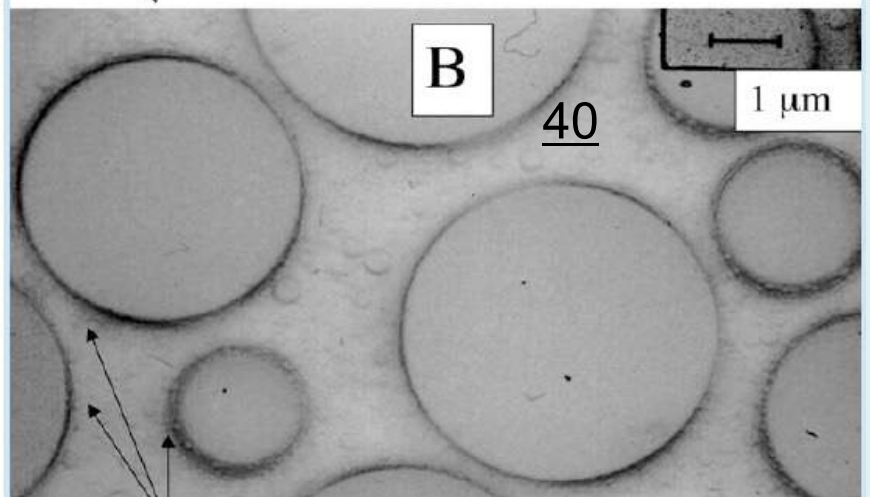
#### Componenti volatili degli oli da olive



1 = ottano; 2 = etilacetato; 3 = etanolo; i.s. = metilisobutilchetone; 4 = metossi-esano; 5 = 1-penten-3-one; 6 = esanale; 7 = pentanolo; 8 = (E)-2-esenale; 9 = dodecene; 10 = pinene; 11 = (Z)-3-esenilacetato; 12 = esanolo; 13 = (Z)-3-esenolo; 14 = nonanale; 15 = (E)-2-esenolo; 16 = acido acetico; 17 = copaene; 18 = dimetilsulfossido; 19 = (E)-2-decenale; 20 = acido nonanoico.

Figura 1 - Microfotografia di oli d'oliva durante il loro decongelamento: olio deodorato (A) e olio extravergine di oliva (B). Sono indicate alcune piccole gocce d'acqua, nei pressi del contorno di grosse gocce di olio.

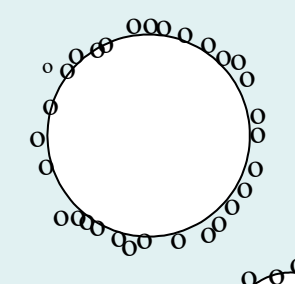




### L'acqua nell'olio da olive

La presenza di 1000-2000 ppm di acqua negli oli vergini filtrati è possibile solo in fase dispersa, stabilizzata dai componenti minori presenti nell'acqua, quali polifenoli, digliceridi, acidi liberi, sali, zuccheri, ecc.

Lercker et al., 2006



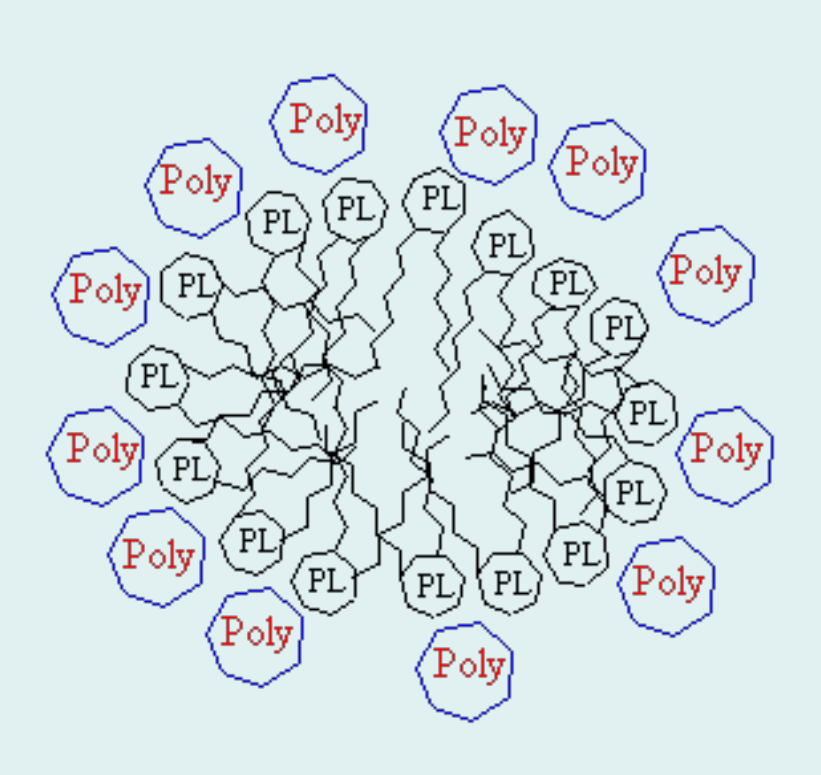
Cerretani et al., 2006

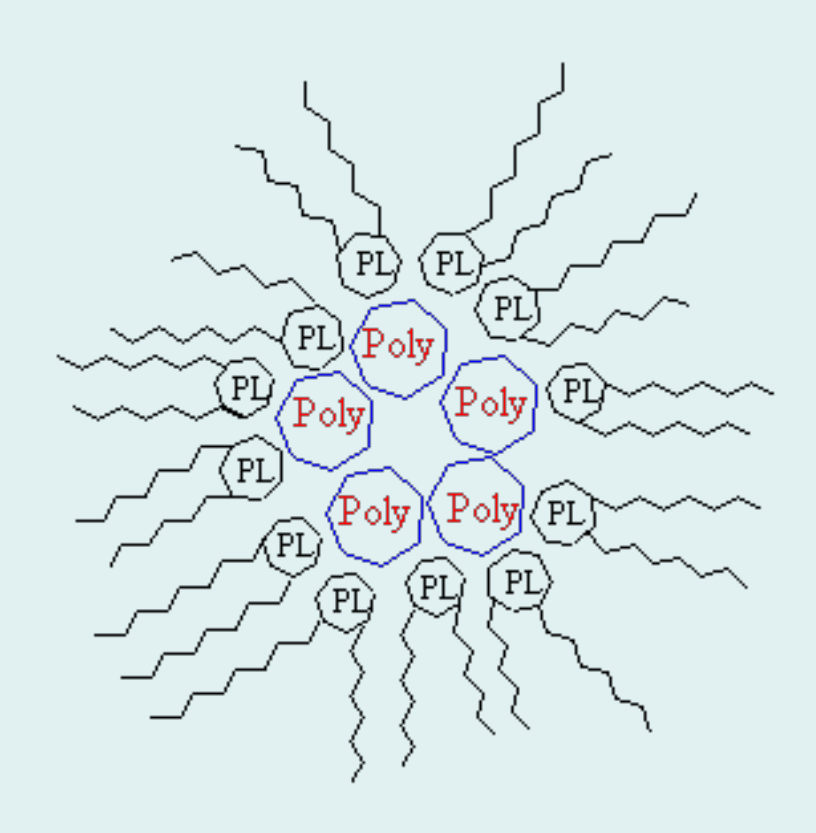
Contenuto in acqua in oli prodotti dalle olive, diversi per tipologia ed origine
(mg di acqua/kg, ppm)

	N° di campioni analizzati	Media	Minimo	Massimo
EVOO Italia	184	1238	500	3013
EVOO Spagna	31	912	432	1629
Olio di Oliva	5	417	279	647

<u>56</u>

### Comportamento previsto per sostanze polari in mezzi polari e non polari



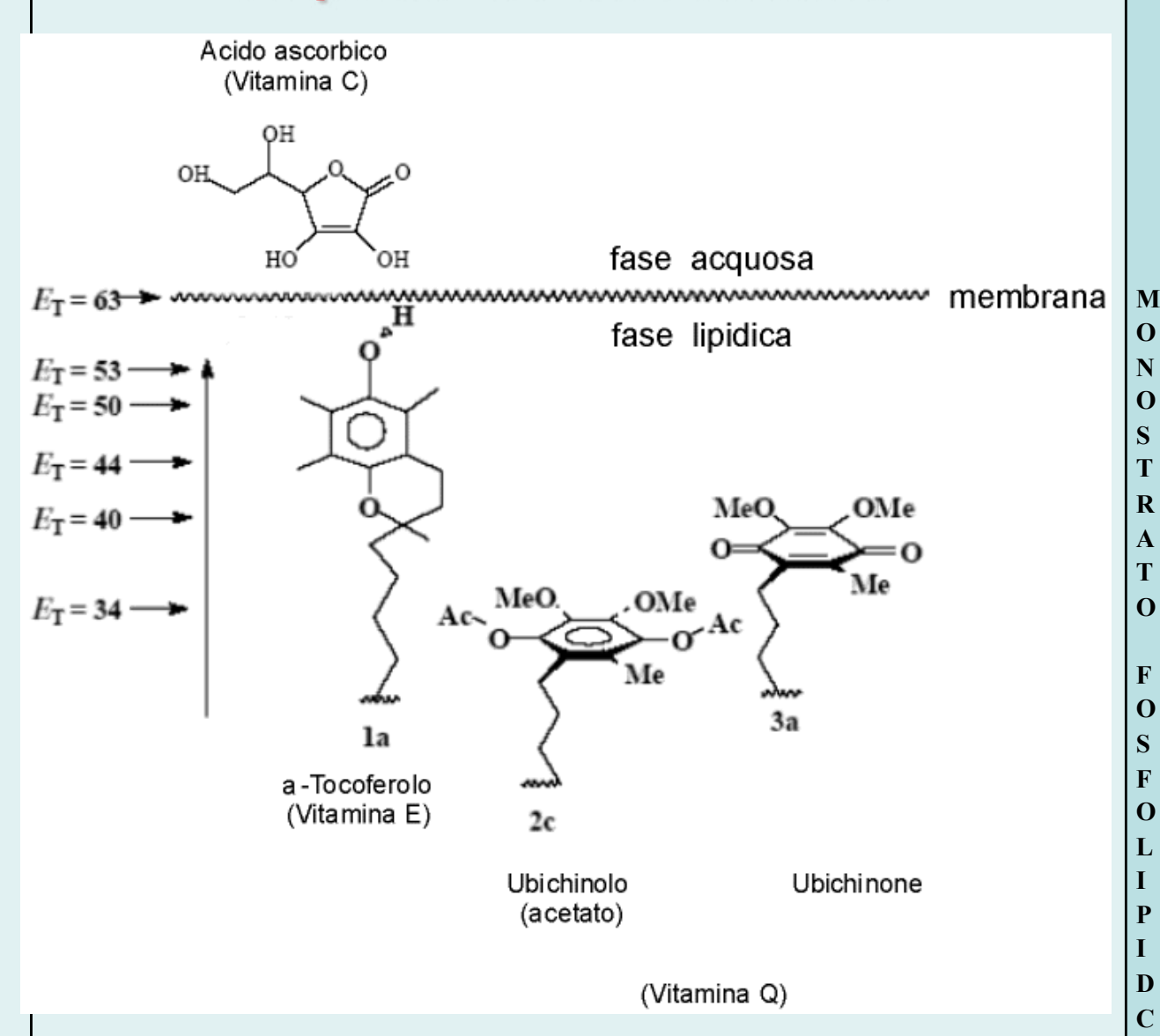


#### IN AMBIENTE POLARE

#### IN AMBIENTE NON POLARE

Con PL si intendono: digliceridi e fosfolipidi Con Poly si intendono i polifenoli, acqua e tutte le sostanze relativamente polari

### Posizione dei tre antiossidanti rispetto alla membrana

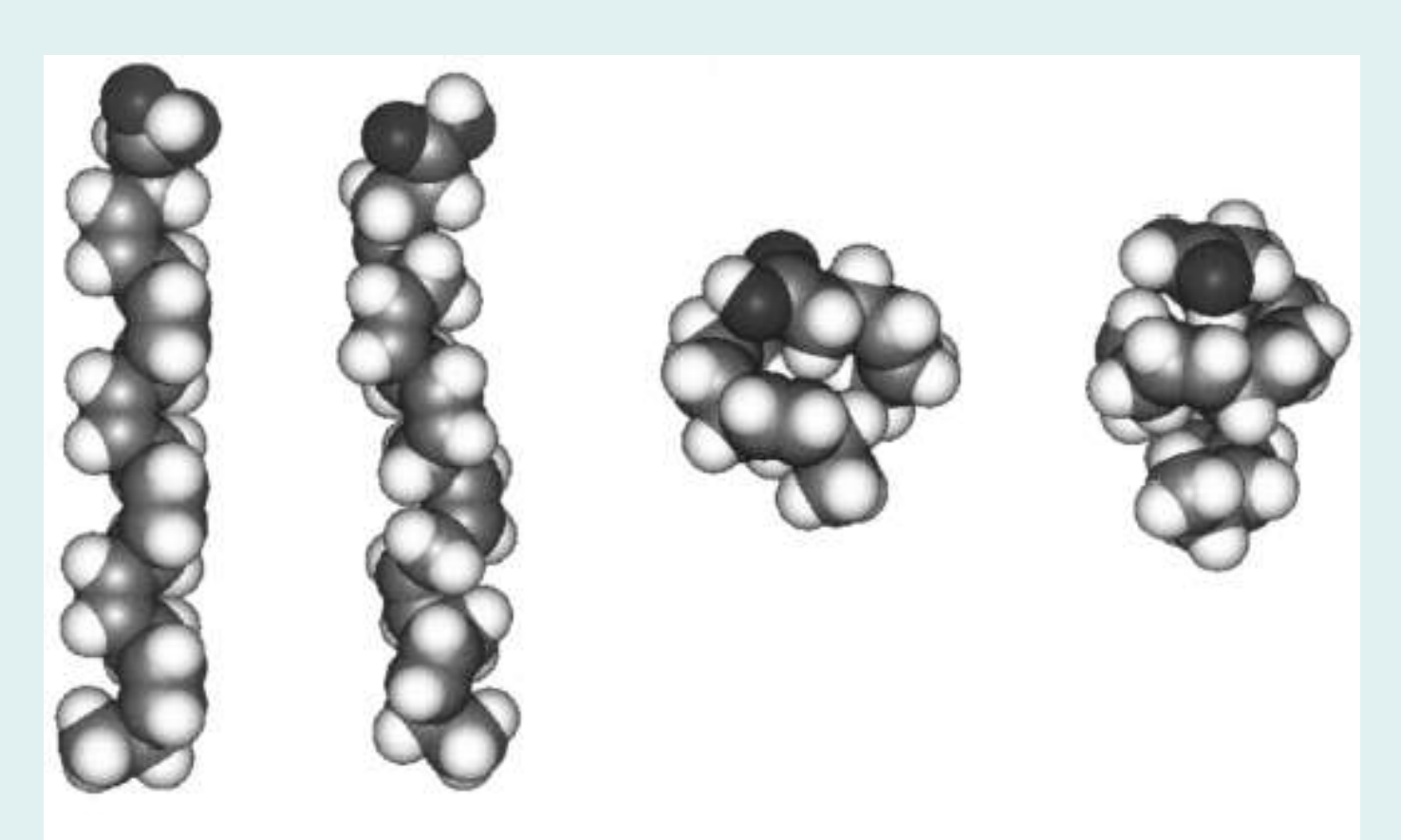


SOD
Catalasi
Glutatione reduttasi
GlutationeS-transferasi
Glutatione perossidasi

+

Afri,&al\_ Active oxygen chemistry within the liposomal bilayer Part III: Locating Vitamin E, ubiquinol and ubiquinone and their derivatives in the lipid bilayer., Chemistry and Physics of Lipids 131 (2004) 107–121

### Comportamento delle catene idrocarburiche in mezzi lipidici e acquosi



Minore superfice del lipide e minore sensibilità all'ossidazione in ambiente acquoso

angle-iron

helical

coiled

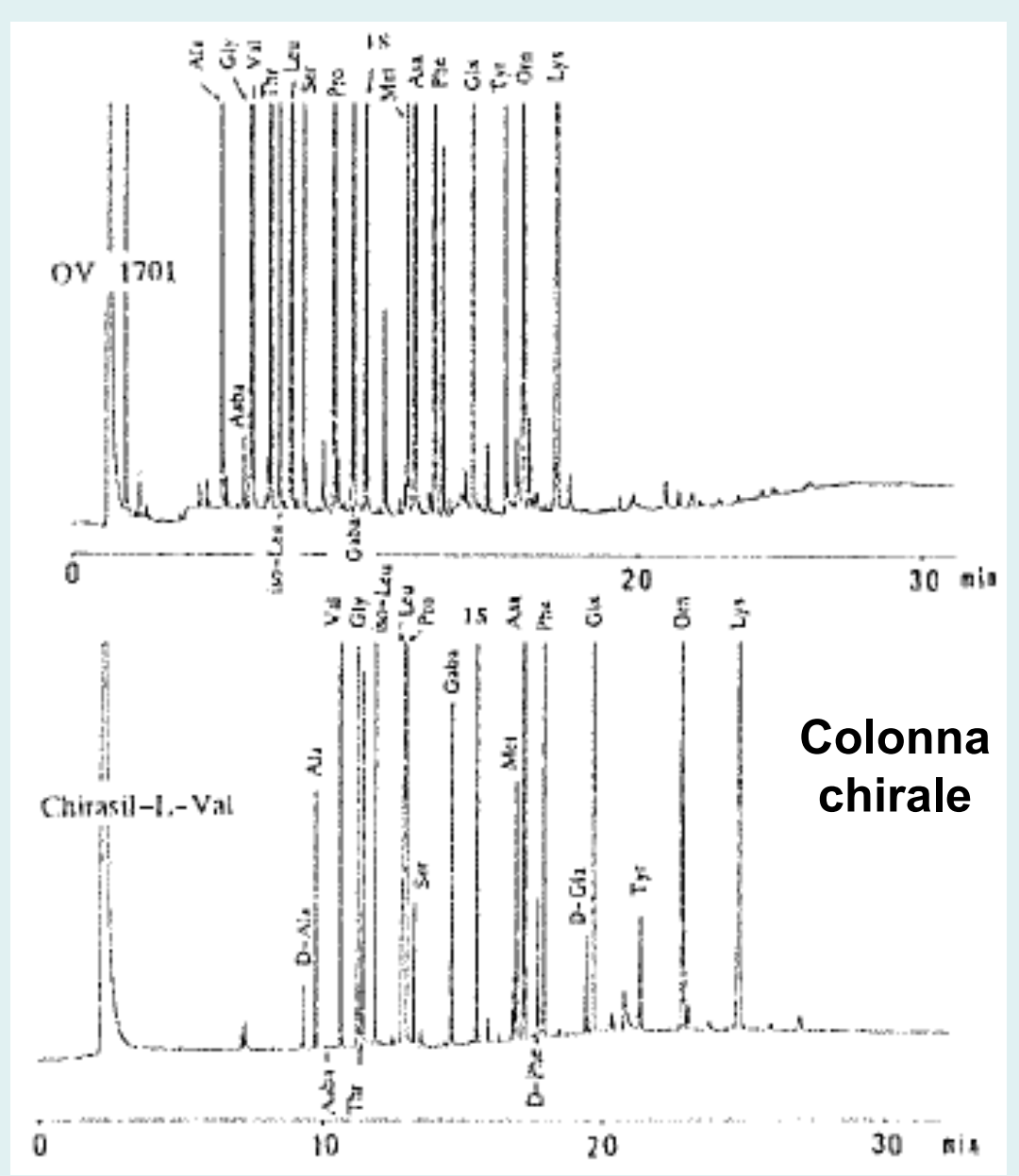
Ambiente lipi

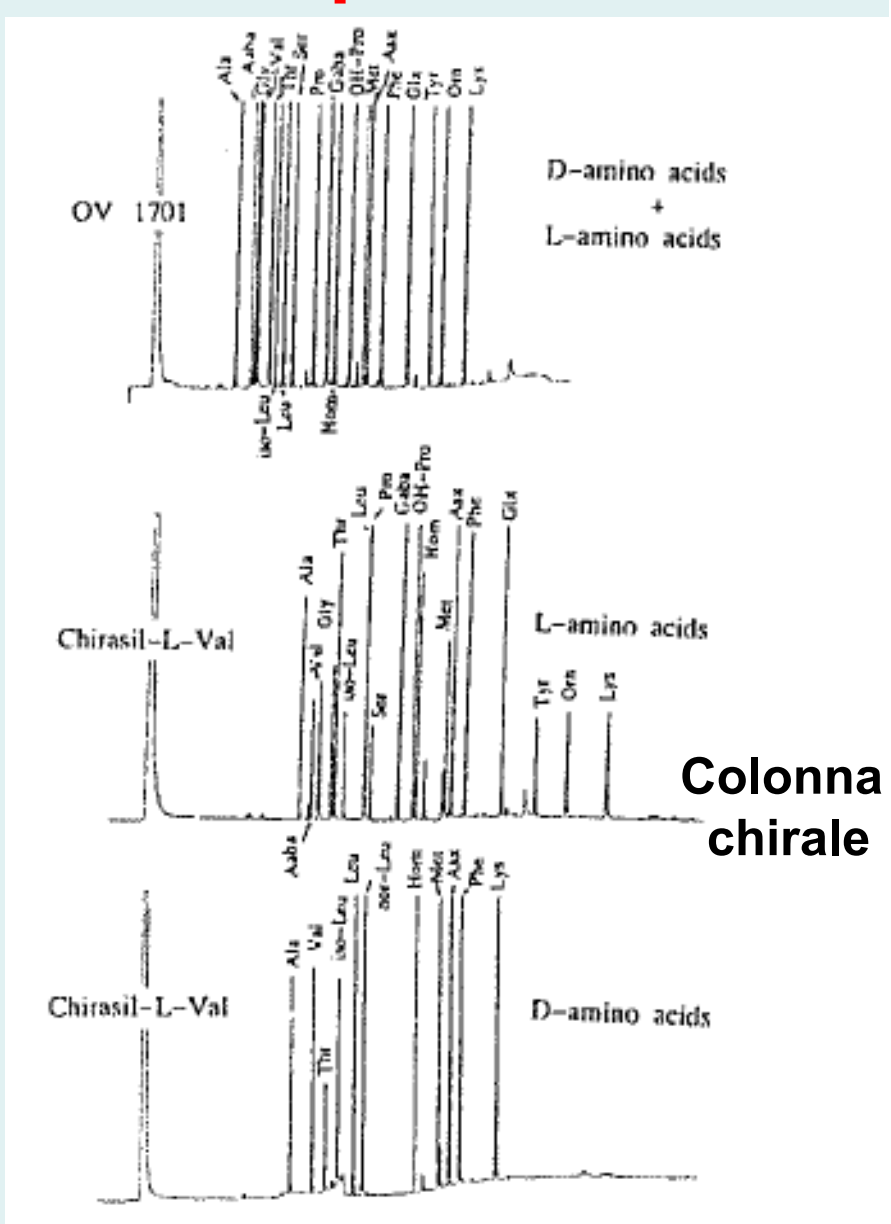
lipidico

**Ambiente** 

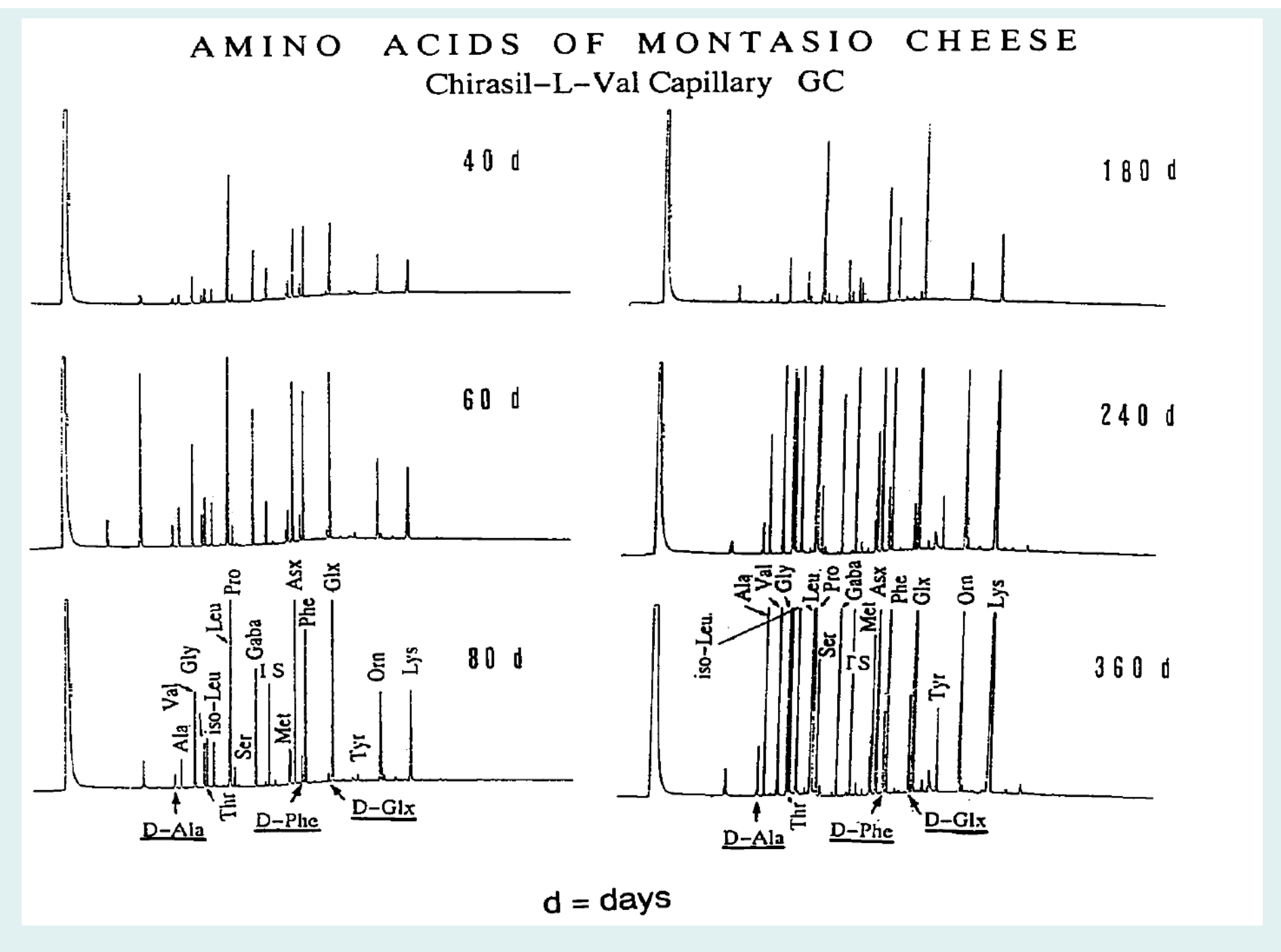
acquoso

### Composizione degli ammino acidi mediante GC in colonne capillari

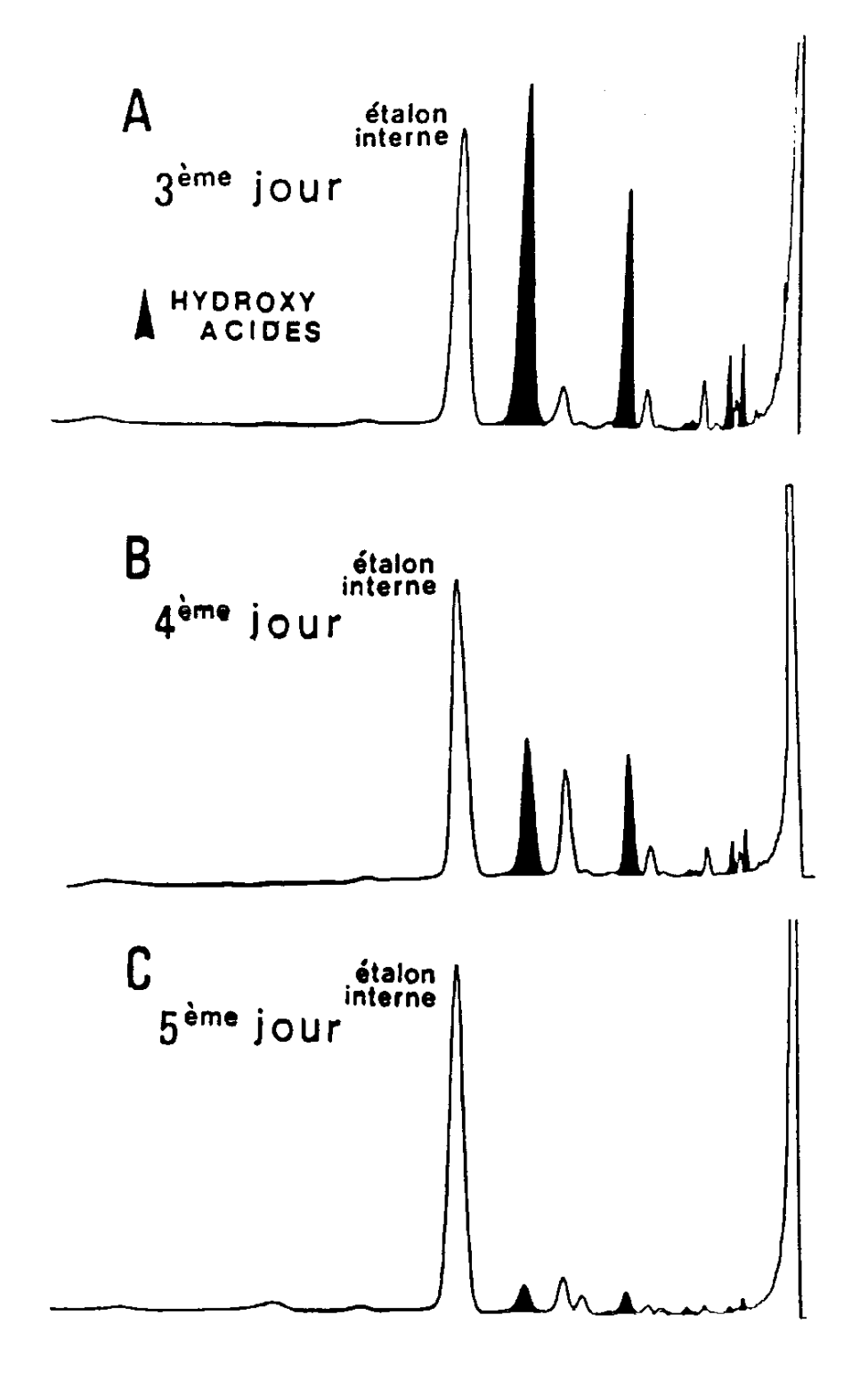




G. BERTACCO, O. BOSCHELLE, G. LERCKER, Gas chromatographic determination of free amino acids in cheeses., Milchwissenschaft, 47(6), 348-350 (1992).



G. BERTACCO, O. BOSCHELLE, G. LERCKER, Gas chromatographic determination of free amino acids in cheeses., Milchwissenschaft, 47(6), 348-350 (1992).

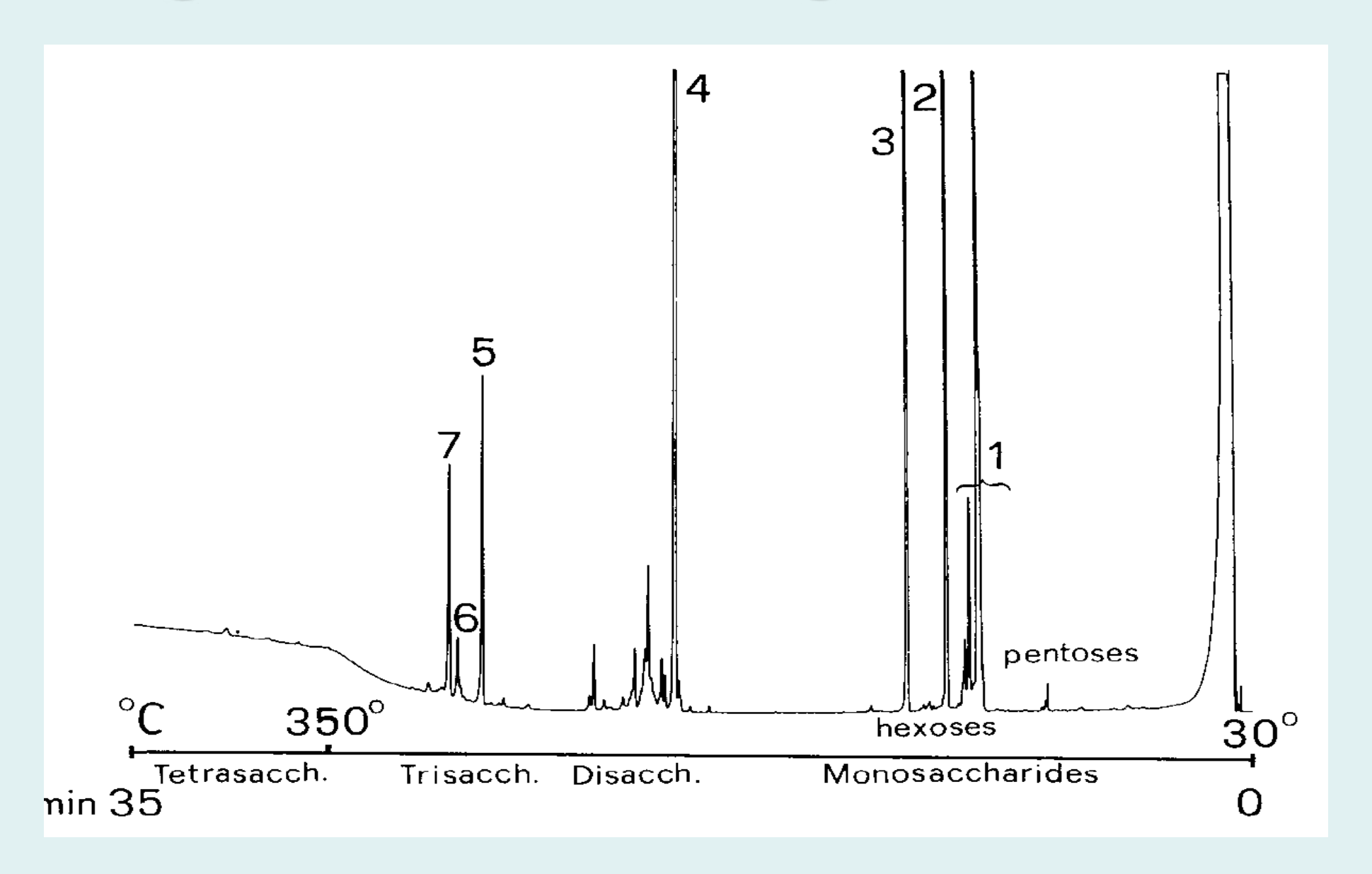


### Acidi organici della gelatina reale a diversi stadi dell'età larvale

#### In nero i picchi degli idrossiacidi

G. LERCKER, M.A. VECCHI, L. PIANA, A. NANETTI, A.G. SABATINI, Composition de la fraction lipidique de la gelé e de larves d'abeilles reines et ouvrières (*Apis mellifera ligustica Spinola*) en fonction de l'age des larves., Apidologie , 15(3), 303-314 (1984).

#### Oligosaccaridi della gelatina reale



G. LERCKER, S. SAVIOLI, M.A. VECCHI, A.G. SABATINI, A. NANETTI, L. PIANA, Carbohydrate determination of royal jelly by high resolution gascromatography (HRGC)., Food Chem., 19, 255-264 (1986).

### Ammine biogeniche (O BIOGENE)

Sono generate a partire da amminoacidi per decarbossilazione

Caratteristiche di formaggi a lunga maturazione o di quelli a media maturazione ad elevato coefficiente di maturazione

Hanno una forte interazione con la pressione sanguigna ("ammine pressorie")

#### Principali risultati di rilievo

- Composizione gas cromatografica dei lipidi totali
- Presenza di triacilgliceroli (TG) nelle membrane di ratti obesi (per iperfagia)
- Lipidi di membrana e composizione degli acidi grassi
- Lipidi dell'epicarpo dell'oliva
- Composizione della frazione lipidica e glucidica della gelatina reale in funzione dell'età larvale
- Separazione e determinazione degli acidi grassi trans isomeri
- Messa a punto di metodi di analisi per la rivelazione di frodi alimentari
- Meccanismi di ossidazione dei sistemi modello
- Prodotti di ossidazione del colesterolo (COPs) e dei fitosteroli (POPs)

#### CONCLUSIONI

- La ricerca si sposta a livello molecolare, per essere innovativa
- La chimica e gli alimenti
  - Composizione
  - Modificazioni della composizione
  - Controllo delle produzioni
  - · Analisi della qualità
- Ricerca nel settore degli alimenti
- Collaborazioni fra settori scientifici differenti (trasversali)
- Capacità investigativa della chimica analitica strumentale e delle cromatografie

# VI RINGRAZIO PER L'ATTENZIONE